

3

BLOCURI ELECTRONICE ÎN AEMC

3.1. AMPLIFICATOARE DE MĂSURARE

3.1.1. NOȚIUNI INTRODUCTIVE

Amplificatoarele de măsurare, denumite și *amplificatoare de instrumentație sau instrumentale* și — simplu — *amplificatoare diferențiale*, sunt elemente componente aproape obligatorii în componența oricărui sistem de măsurare sau de achiziție de date. În continuare, se va prefera prima denumire cu abrevierea *AM*.

3.1.1.1. Particularitățile amplificatoarelor de măsurare

Performanțele unui circuit de măsurare sunt determinate de **ansamblul sursă de semnal —amplificator—sarcină**. Sursele de semnal pot fi foarte diverse: de tensiune, de curent, de sarcină etc. și sărcinile, la rîndul lor, trebuie comandate în curent sau în tensiune pentru impedanțe variind în limite largi, de la cîțiva ohmi la $10^5 \dots 10^7$ ohmi. Așa cum se va arăta mai departe, calitatea amplificatorului este cea care determină esențial performanțele circuitului de măsurare.

Un *AM*, fără a fi principal deosebit de un amplificator diferențial obisnuit, este un amplificator folosit în *măsurarea mărimilor* electrice sau neelectrice. *AM* trebuie să satisfacă cerințe deosebite privind sensibilitatea, stabilitatea, insensibilitatea la condițiile de funcționare, să aibă erori statice minime și un răspuns în frecvență cunoscut și reproductibil. *AM* trebuie să aibă de asemenea un zgomot propriu redus, să rejecteze semnalele de mod comun la intrare și să se poată conecta la distanțe relativ mari de sursă de semnal și de sarcină.

• În figura 3.1 *AM* este conectat la o sursă de tensiune și la o sarcină comandată în tensiune. Amplificatorul este caracterizat în primul rînd prin amplificarea de tensiune, $A_v = \frac{v_o}{v_i}$. Se observă ușor că amplificarea de ten-

siune de la sursa de semnal la sarcină, denumită amplificare de tensiune disponibilă, $A_{vd} = \frac{v_o}{v_s}$, este mai mică decât A_v , conform relației :

$$A_{vd} = \frac{v_o}{v_s} = \frac{v_{oi} \frac{R_L}{R_L + r_o}}{v_i \frac{R_s + r_t}{r_t}} = A_v \cdot \frac{r_t}{R_s + r_t} \cdot \frac{R_L}{R_L + r_o}. \quad (3.1)$$

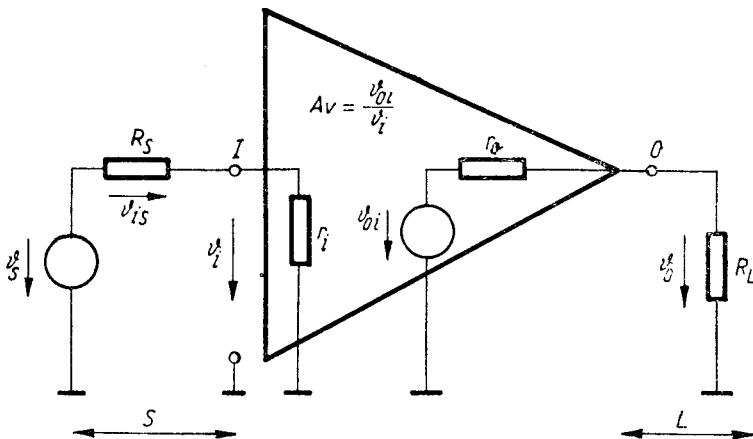


Fig. 3.1. Conectarea unui amplificator de tensiune.

Amplificarea disponibilă se micșorează față de amplificarea A_v prin factorii de divizare ai tensiunii în circuitele intrării și respectiv ieșirii. Pentru a putea conta pe o valoare cunoscută a amplificării disponibile în condițiile unor surse de semnal și sarcini variabile, se impun inegalitățile :

$$r_t \gg R_s, r_o \ll R_L. \quad (3.2)$$

Ideal ar fi ca AM să se prezinte ca un receptor ideal de tensiune ($r_t \rightarrow \infty$) în circuitul intrării și ca o sursă ideală de tensiune ($r_o \rightarrow 0$) în circuitul sarcinii.

• În figura 3.2 este reprezentată **conectarea unui AM la o sursă de curent cu ieșirea în tensiune**. Aici, amplificarea este o transimpedanță $Z_T = \frac{v_o}{i_s}$. Transimpedanța disponibilă este :

$$Z_{Td} = \frac{v_o}{i_s} = \frac{v_{oi} \frac{R_L}{R_L + r_o}}{i_s \frac{Y_S + y_t}{y_t}} = Z_T \cdot \frac{y_t}{Y_S + y_t} \cdot \frac{R_L}{R_L + r_o}, \quad (3.3)$$

de unde, similar cazului precedent, rezultă condițiile :

$$y_t \gg Y_S \left(\text{sau } r_t = \frac{1}{y_t} \ll R_S = \frac{1}{Y_S} \right) \text{ și } r_o \ll R_L. \quad (3.4)$$

Aici AM trebuie să se comporte în circuitul intrării ca un receptor ideal de curent ($y_t \rightarrow \infty$).

Dacă mărimea de ieșire a amplificatorului este un curent, se deduce ușor că în circuitul sarcinii trebuie îndeplinită condiția :

$$r_o \gg R_L \text{ sau } y_o \ll Y_L. \quad (3.5)$$

Din cele de mai înainte se vede că performanțele ansamblului sunt asigurate grație rigorilor impuse amplificatorului de măsurare.

○ **Notă.** În cele ce urmează, prin *AM* vom înțelege doar amplificatoarele de tensiune.

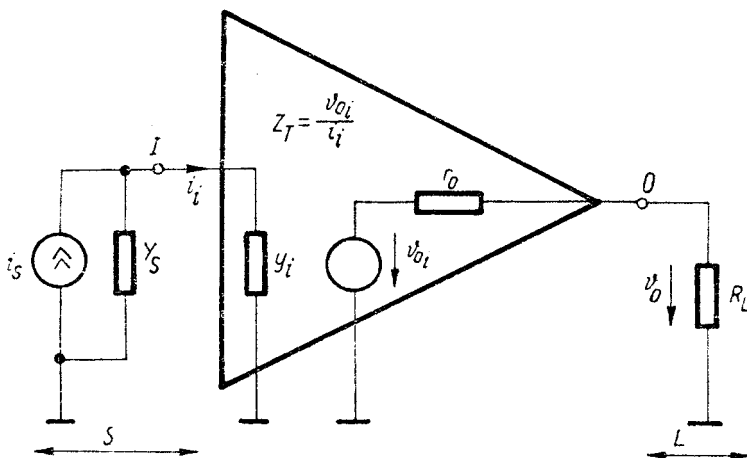


Fig. 3.2. Conectarea unui amplificator de transimpedanță.

3.1.1.2. Parametrii amplificatoarelor de măsurare

Principaliii parametrii ai *AM* sunt:

- *amplificarea nominală*, fixă sau variabilă, definită în condiții specificate de sursă de semnal, sarcină, alimentare în curent continuu și de mediu ambient;
- *neliniaritatea amplificării*, definită ca abatere maximă în procente a tensiunii de ieșire față de răspunsul liniar ideal, $v_o = A_v v_i$, măsurată pentru întreg domeniul lui v_i ;

• *senzitivitățile amplificării* la variațiile tensiunilor de alimentare, temperaturii etc., exprimate în valori relative ale modificărilor amplificării, raportate la mărimea variației factorului perturbator. Se exprimă în ppm/V, ppm/°C etc.;

• *rejecția modului comun*, definită ca la amplificatoarele diferențiale (*CMR*).

Tot ea la amplificatoarele diferențiale se definesc:

- *impedanța de intrare diferențială*, z_{id} ;
- *impedanța de intrare pe mod comun*, z_{ic} ;
- *impedanța de ieșire*, z_o ;
- *curentul de polarizare*, I_B , și *curentul de offset*, I_{os} ;
- *tensiunea de offset*, V_{os} ;
- *derivele lui* I_B , I_{os} , V_{os} ;
- *produsul amplificare-bandă*, f_T .

3.1.2. CONFIGURAȚII DE BAZĂ

În vederea obținerii performanțelor specificate mai sus, la realizarea amplificatoarelor de măsurare se recurge la *circuite cu reacție negativă puternică*, ceea ce asigură o valoare predictibilă și stabilă a amplificării și senzitivității.

vități mici la factorii perturbatori, o dată cu asigurarea unei bune liniarități și a unui răspuns îmbunătățit în frevență.

Pentru a obține erori statice minime și rejecția semnalelor de mod comun, se folosesc *circuite simetrice* atât în structura schemei, cât și în realizarea concretă, având în vedere o variație izotermă a temperaturii elementelor componente, conform cu principiile de realizare a amplificatoarelor operaționale.

Amplificatoarele operaționale având, de cele mai multe ori, intrare diferențială, amplificare mare de tensiune, rezistențe de intrare relativ mari și rezistențe de ieșire relativ mici sunt elemente constitutive importante în realizarea *AM*. Cu ajutorul lor a devenit posibilă construirea unor *AM* cu performanțe ridicate, la un gabarit și un cost reduse. Amplificarea inițială mare a *AO* a permis utilizarea unor reacții negative puternice, chiar pentru valori mari ale amplificării cu reacție (10^3). Reacția negativă se poate aplica în circuitul intrării atât sub forma reacției în tensiune, cât și sub forma reacției în curent.

3.1.2.1. Amplificatoare de măsurare cu reacție negativă de tensiune

• **Amplificator diferențial cu un AO.** Amplificatoarele de măsurare cu reacție în tensiune derivă din circuitul amplificatorului diferențial cu reacție negativă reprezentat în figura 3.3. Admitând un *AO* ideal ($V_{OS} = 0$, $I_B = 0$, $Z_i \rightarrow \infty$, $z_o \rightarrow 0$, $\mu \rightarrow \infty$) se vor determina amplificarea diferențială, amplificarea și rejecția semnalului de mod comun. Tensiunea de ieșire v_o este :

$$v_o = v_{i1} \frac{R_4}{R_3 + R_4} \cdot \frac{R_2 + R_1}{R_1} - v_{i2} \frac{R_1}{R_1}. \quad (3.6)$$

Condiția de funcționare ideală a amplificatorului diferențial se obține prin egalarea coeficienților tensiunilor de intrare :

$$\frac{R_1}{R_3 + R_4} \cdot \frac{R_2 + R_1}{R_1} = \frac{R_2}{R_1} \text{ sau } \frac{R_4}{R_3} = \frac{R_2}{R_1} = k. \quad (3.7)$$

Pentru compensarea efectelor curentilor de polarizare ai intrărilor, cu sursele de intrare pasivizate, rezultă condiția :

$$I_B^- \cdot \frac{R_1 R_2}{R_1 + R_2} = \frac{R_3 R_4}{R_3 + R_4} \cdot I_B^+. \quad (3.8)$$

Din ultimele două relații rezultă condiția ca circuitul să fie un amplificator diferențial :

$R_1 = R_3$; $R_2 = R_4$ și, înlocuind, expresia tensiunii de ieșire este :

$$v_o = (v_{i1} - v_{i2}) \cdot \frac{R_2}{R_1} = (v_{i1} - v_{i2}) \cdot k, \quad (3.9)$$

k fiind valoarea amplificării diferențiale.

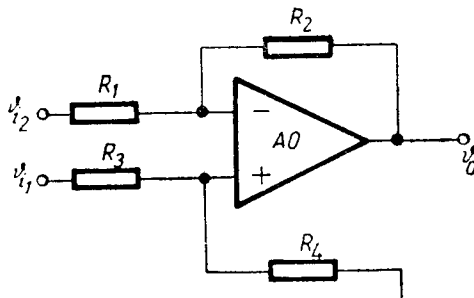


Fig. 3.3. Amplificator diferențial cu un *AO*.

Pentru un amplificator cu rejecția modului comun cunoscută, CMR_A , cu relația (3.7) îndeplinită, tensiunea de ieșire corespunzătoare unei tensiuni de intrare pe mod comun $v_{ic} = v_{i1} = v_{i2}$ se poate obține considerind tensiunea de intrare echivalentă în circuitul de intrare al AO corespunzătoare tensiunii aplicate efectiv intrărilor și observând că tensiunea la intrarea amplificatorului ideal este nulă:

$$v_{ic} \cdot \frac{R_4}{R_3 + R_4} + v_{ic} \cdot \frac{R_4}{R_3 + R_4} \cdot \frac{1}{CMR_A} = v_{ic} + (v_o - v_{ic}) \cdot \frac{R_1}{R_1 + R_2}. \quad (3.10)$$

Exprimând rapoartele în funcție de k și grupând termenii se obține :

$$v_{ic} \left[\frac{k}{1+k} \left(1 + \frac{1}{CMR_A} \right) - 1 + \frac{1}{1+k} \right] = v_o \cdot \frac{1}{1+k} \quad (3.11)$$

și *amplificarea semnalului de mod comun* :

$$A_c = \frac{v_o}{v_{ic}} = \frac{k}{CMR_A}. \quad (3.12)$$

Rejecția modului comun pentru amplificatorul diferențial este :

$$CMR = \frac{k}{A_c} = CMR_A, \quad (3.13)$$

deci egală cu rejecția amplificatorului operațional folosit.

Rejecția amplificatoarelor reale este înrăutățită prin **abaterea valorii rezistențelor de la relația** (3.7). Cazul cel mai defavorabil poate fi considerat atunci cînd rapoartele rezistențelor din circuitele celor două intrări au abateri opuse față de valoarea ideală :

$$k_1 = \frac{R_2}{R_1} = k(1 + \delta) \text{ și } k_2 = \frac{R_4}{R_3} = k(1 - \delta). \quad (3.14)$$

Pentru un amplificator cu rejecție infinită, tensiunea de ieșire corespunzătoare unei excitații pe modul comun rezultă prin suprapunerea efectelor tensiunii v_{ic} pe traseele celor două intrări ale AO :

$$v_o = v_{ic} \frac{R_4}{R_3 + R_4} \cdot \frac{R_1 + R_2}{R_1} - v_{ic} \frac{R_2}{R_1}; \quad (3.15)$$

$$v_o = v_{ic} \left[\frac{\frac{1}{k_2} (1 + k_1) - k_1}{\frac{1}{k_2} + 1} \right] = v_{ic} \frac{k_2(1 + k_1) - k_1(1 + k_2)}{1 + k_2}. \quad (3.16)$$

Înlocuind k_1 și k_2 cu valorile lor din (3.14) rezultă, după simplificarea expresiei :

$$v_o = v_{ic} \frac{-2k\delta}{1 + k(1 - \delta)}. \quad (3.17)$$

Amplificarea tensiunii de mod comun este deci :

$$A_c = \frac{v_o}{v_{ic}} = - \frac{2k\delta}{1 + k(1 - \delta)} \quad (3.18)$$

și *rejecția* amplificatorului :

$$CMR = \frac{k[1 + k(1 - \delta)]}{-2k\delta} = - \frac{1 + k(1 - \delta)}{2\delta}. \quad (3.19)$$

Evident, pentru $\delta \rightarrow 0$, $CMR \rightarrow \infty$, iar pentru abateri $\delta \ll 1$ se poate folosi expresia aproximativă :

$$CMR = -\frac{1+k}{2\delta}. \quad (3.20)$$

Relația arată creșterea rejecției cu mărirea amplificării și scăderea acestea prin creșterea abaterii raportelor rezistențelor de la valoarea din (3.7). Pentru cazul particular al amplificatorului diferențial cu amplificare unitară ($k = 1$), prin folosirea unor rezistențe cu toleranță $\delta = 0,1\%$ luate la întâmplare, rejecția minimă corespunzătoare situației celei mai defavorabile este 10^3 sau 60 dB. Desigur, rejecția finită a AO contribuie la înrăutățirea rejecției ansamblului, dar mărimea uzuale a acesteia (80...100 dB) are un efect neglijabil în comparație cu efectul lui δ .

Rezultă de aici cu evidență rolul rezistențelor $R_1 \dots R_4$ în asigurarea unei rejecții mari a tensiunii de mod comun. Acestea trebuie să fie de înaltă precizie și stabilitate și la multe amplificatoare se folosește ajustarea individuală cu fascicul laser.

Amplificatorul diferențial prezentat are unele **inconveniente** care limitează utilizarea sa în forma prezentată.

— *Impedanțele de intrare* sunt *diferite* pentru cele două intrări. Se observă ușor prin pasivizarea alternativă a celor două intrări că rezistențele de intrare sunt R_1 pentru intrarea inversoare și $R_3 + R_4 = (1+k)R_1$ pentru intrarea neinversoare. În cazul unor surse de tensiune cu rezistențe interne diferite pentru cele două intrări se produce nu numai o micșorare a amplificării disponibile, ci și o înrăutățire a CMR conform relației (3.20), deoarece rezistențele interne ale surselor de tensiune se însumează cu R_1 , respectiv cu R_3 .

— *Impedanțele de intrare* sunt în sine relativ *mici*, deoarece R_3 , R_4 nu pot fi mărite peste $10^6 \Omega$ (s-ar modifica răspunsul în frevență prin șuntarea lor de către capacitatele parazite proprii și de montaj). Pentru amplificări de ordinul $10^2 \dots 10^3$ rezultă rezistențe R_1 , R_3 de ordinul $1 \dots 10 \text{ k}\Omega$.

— Modificarea sau *ajustarea amplificării* este *dificilă*, deoarece implică modificarea cel puțin a unei perechi de rezistențe pentru a asigura permanent proporția din relația (3.7).

● **Amplificator diferențial cu un AO , cu impedanță de intrare mărită.** O modalitate de obținere a unor impedanțe de intrare mari este reprezentată în figura 3.4. Amplificatorul diferențial este conectat pentru amplificare unitară, dar reacția negativă se preia din divizorul rezistiv R_1 , R_2 . Impedanțele de intrare sunt respectiv $1 \text{ M}\Omega$ și $2 \text{ M}\Omega$, iar amplificarea

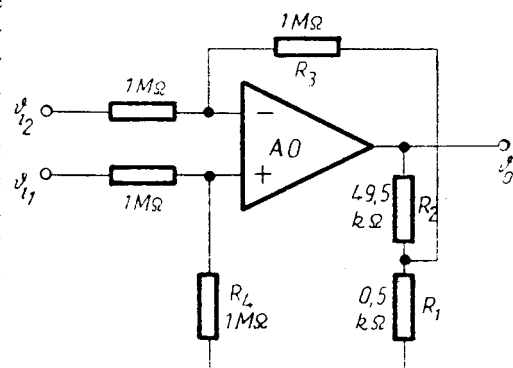


Fig. 3.4. Amplificator diferențial cu impedanță de intrare mărită.

globală este inversul factorului de reacție negativă, care se poate exprima ușor observând că $R_3 \gg R_1 \parallel R_2$:

$$v_o = (v_{i1} - v_{i2}) \frac{R_2 + R_1}{R_1}. \quad (3.21)$$

• **Amplificator diferențial cu impedanță de intrare mărită, folosind repetoare la intrare.** O rezolvare mai puțin economică, dar mai eficientă se vede în figura 3.5. Amplificatoarele $AO1$, $AO2$ conectate ca repetoare de

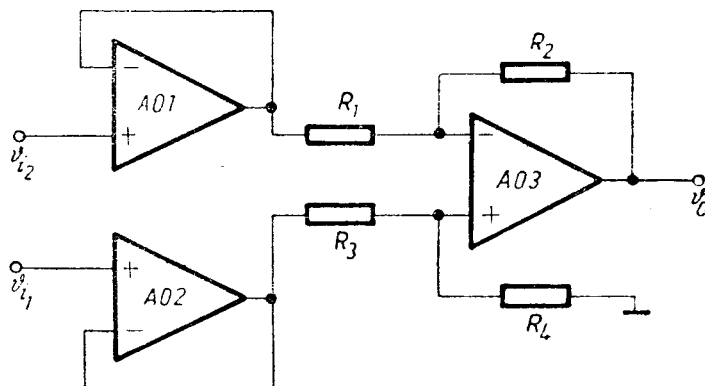


Fig. 3.5. Amplificator diferențial cu repetoare la intrare.

Tensiunea a sigură o impedanță de intrare aproape egală cu impedanța de intrare pe mod comun a AO , care obișnuit este de ordinul $10^7 \Omega$ pentru AO monolitice. Trebuie totuși subliniat că sursa de semnal închide curentul de polarizare I_B^+ al repetorului și cuplajul trebuie neapărat să fie galvanic, iar sursa de semnal să permită trecerea curentului continuu. Impedanța de ieșire a repetoarelor $z_{oR} = \frac{r_o}{\mu+1}$ este atât de mică încât se poate neglijă nu

numai față de R_1 , R_3 , ci chiar față de rezistențele cablajului.

○ **Observație.** Această schemă reprezintă un AM propriu-zis.

• **Amplificator diferențial cu amplificare reglabilă.** Reglarea continuă sau în trepte a amplificării este posibilă cu ajutorul circuitului din figura 3.6. Din simetria circuitului rezultă că pentru semnalul de intrare diferențial potențialele punctelor **mediane** ale rezistențelor R_2 , R_3 evoluează

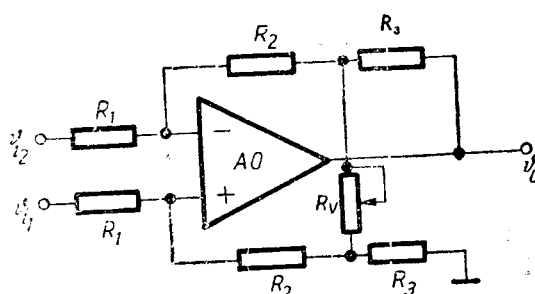


Fig. 3.6. Amplificator diferențial cu amplificare reglabilă.

simetric și curenții prin cele două rezistențe R_2 sunt egali, circulind însă în sensuri contrare față de intrările AO . Considerind această simetrie, tensiunea de ieșire se poate exprima direct ca produs al amplificării corespunzătoare am-

plificatorului diferențial cu inversul factorului de reacție negativă pentru semnal diferențial și cu tensiunea diferențială de intrare :

$$v_o = (v_{i1} - v_{i2}) \cdot \frac{R_2}{R_1} \left(1 + \frac{2R_3}{R_V} \right). \quad (3.22)$$

Pentru surse ideale de tensiune, circuitul are performanțe bune și permite reglajul în limite largi al amplificării prin modificarea unei singure rezistențe, R_V . Din păcate, celelalte rezistențe trebuie să fie egale două cîte două pentru asigurarea CMR, iar amplificarea variază invers proporțional cu R_V . Ultimul fapt nu este un inconvenient pentru circuite cu amplificarea variabilă în trepte, dar este un dezavantaj atunci cînd amplificarea trebuie ajustată continuu, de preferință proporțional cu variația unui reostat de precizie.

○ **Notă.** Pentru circuitul descris, impedanțele de intrare la cele două intrări sunt egale, dar relativ mici. Prin completarea circuitului cu cele două repetoare la intrări, ca în figura 3.7, se obține o impedanță de intrare mare.

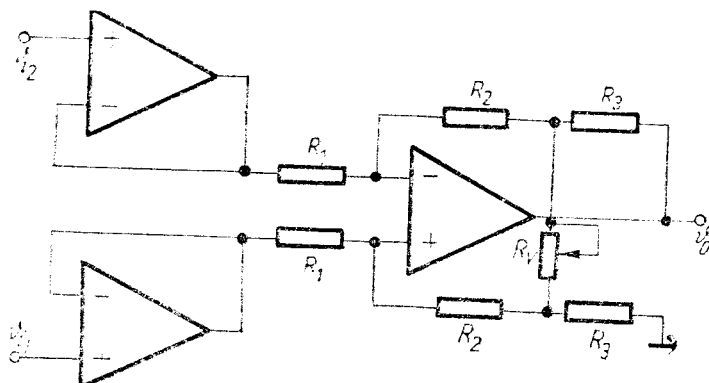


Fig. 3.7. Amplificator de măsurare cu amplificare reglabilă.

● **Amplificator de măsurare cu rejecția modului comun îmbunătățită.** Cu același număr de elemente constitutive, configurația din figura 3.8 oferă o mai bună rejecție a semnalului de mod comun prin ajustarea tuturor rezistențelor sau, avind în vedere considerente economice, prin ajustarea îngrijită a numai două rezistențe (R_V) pentru un CMR moderat. Amplificatoarele $AO1$, $AO2$ sunt conectate simetric ca amplificatoare neinversoare, asigurînd o impedanță de intrare rezonabil de mare, iar $AO3$ este un amplificator diferențial ca în figura 3.3. Avînd în vedere simetria schemei, expresia tensiunii de ieșire este :

$$v_o = (v_{i1} - v_{i2}) \frac{2R_1}{R_V} \cdot \frac{R_2}{R_1} : \quad (3.23)$$

Pentru excitație pe modul comun, $v_{ic} = v_{i1} = v_{i2}$, amplificarea etajelor de intrare este egală cu unitatea, în timp ce amplificarea diferențială $\frac{2R_1}{R_V}$ poate fi supraunitară. La excitarea pe mod comun tensiunea de ieșire are expresia :

$$v_{oc} = v_{ic} \cdot 1 \cdot (CMR_3)^{-1} \cdot k = v, \text{ rel. (3.12),} \quad (3.24)$$

unde CMR_3 este rejecția modului comun pentru ansamblul $AO\ 3$ cu R_3 și R_2 , iar $k = \frac{R_1}{R_2}$.

Rejecția modului comun pentru întreg circuitul este :

$$CMR = \frac{v_o / (v_{i1} - v_{i2})}{v_{oc} / v_{ic}} = \frac{\frac{2R_1}{R_V} \cdot k}{k(CMR_3)^{-1}} = 2 \frac{R_1}{R_V} \cdot CMR_3, \quad (3.25)$$

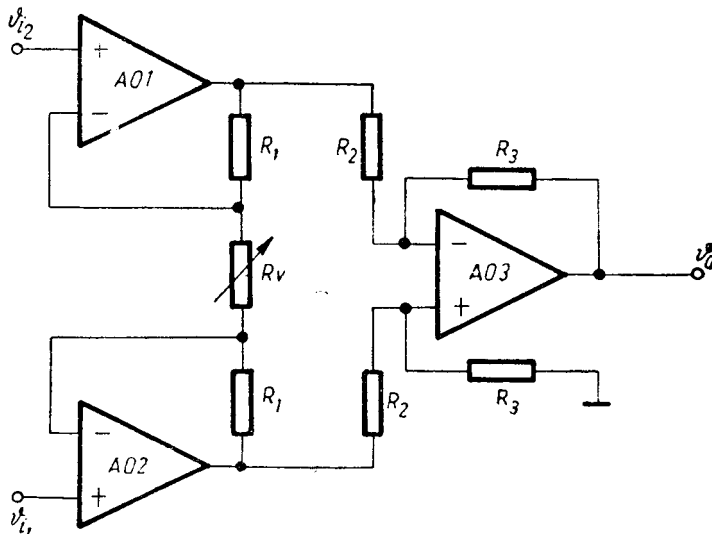


Fig. 3.8. Amplificator de măsurare cu rejecția modului comun îmbunătățită.

adică rejecția totală crește față de CMR_3 , proporțional cu amplificarea diferențială a etajelor de intrare. Această proprietate permite fie realizarea unei rejecții îmbunătățite a întregului circuit prin selecția sau ajustarea îngrijită a tuturor rezistoarelor componente, fie toleranțe mai largi pentru R_2 , R_3 și selecțarea sau ajustarea doar a rezistoarelor R_1 .

● **Amplificator de măsurare cu amplificare reglabilă liniar.** Prin folosirea unui AO suplimentar, schema din figura 3.9 oferă o variație a amplificării proporțională cu variația rezistenței de reglare R_V . AO_4 , conectat ca amplificator inversor, controlează de fapt mărimea reacției negative aplicate amplificatorului diferențial echipat cu AO_3 :

$$\beta_3 = \frac{v_{o4}}{v_o} = A_{V4} = - \frac{R_3}{R_V} \cdot k \quad (3.26)$$

Tensiunea de ieșire are expresia :

$$|v_o| = (v_{i1} - v_{i2}) \frac{R_2}{R_1} \cdot \frac{R_V}{R_3} \quad (3.27)$$

Particularitatea acestui montaj constă în folosirea unui element activ în circuitul de reacție negativă, a cărei mărime nu mai este independentă de frecvență ca în cazul folosirii exclusive a rezistoarelor. Pentru amplificări globale supraunitare, β_3 trebuie să fie subunitar, astfel că în realitate AO_4 împreună cu rezistoarele aferente R_V , R_3 funcționează ca atenuator. Totuși, bucla de reacție negativă include două amplificatoare AO_3 și AO_4 , iar

amplificarea buclei este produsul amplificărilor complexe ale acestora, rezultând o funcție de ordinul 2, mai suscetibilă față de compensarea în frecvență. Situația este mai critică atunci cînd $R_V \rightarrow 0$ și $A_{V4} \rightarrow \mu$, deoarece frecvența de tăiere a amplificatorului $AO\ 4$ cu reacție tinde în această situație spre frecvența de tăiere a AO singur, ușual de cca 10 Hz.

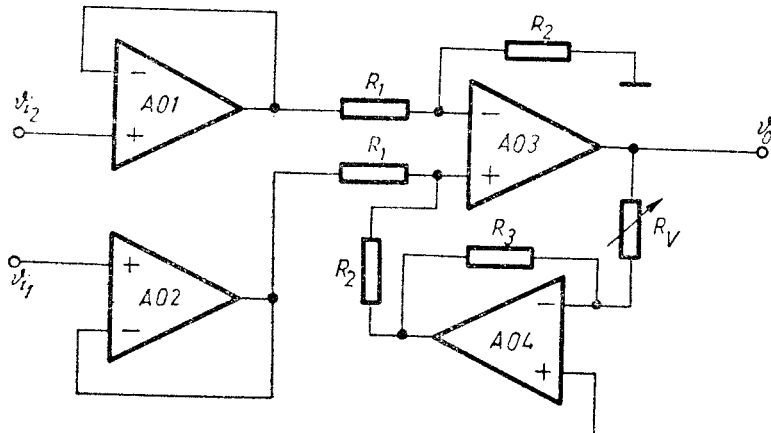


Fig. 3.9. Amplificator de măsurare cu amplificare reglabilă liniar.

În această schemă sunt preferabile AO cu elemente exterioare de compensare a caracteristicii de frecvență, care pot fi supracompensate mai comod, iar scăderea lui R_V trebuie să fie limitată la o fracțiune mică din valoarea maximă — de exemplu 1/100 — ceea ce încă permite reglarea liniară a amplificării pe două ordine de mărime.

● **Amplificator de măsurare cu două AO .** Schema din figura 3.10 reprezintă un amplificator de măsurare hibrid (BB 3626), cu posibilitatea ajustării amplificării cu un singur rezistor conectat exterior. Tensiunea de ieșire dată de celor două tensiuni de intrare se poate calcula prin superpoziție.

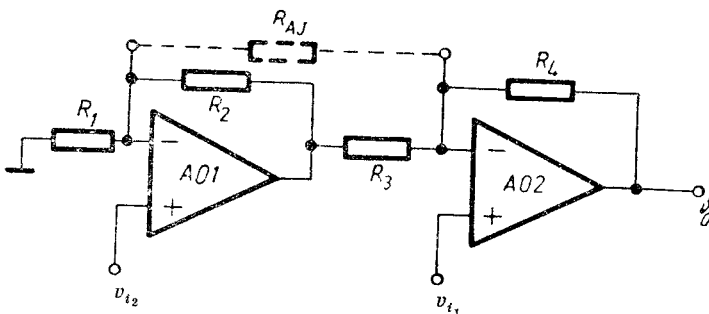


Fig. 3.10. Amplificator de măsurare cu două AO .

Dacă $v_{i2} = 0$, tensiunea la ieșirea $AO\ 1$ va fi :

$$v_{o1} = - \frac{R_2}{R_{AJ}} v_{i1}; \quad (3.28)$$

$$v_o = v_{i1} + i_4 R_4 = v_{i1} + R_4 \left(\frac{v_{i1}}{R_{AJ}} + \frac{v_{i1} - v_{o1}}{R_3} \right). \quad (3.29)$$

Înlocuind v_{o1} și grupînd termenii se obține :

$$v_o = v_{i1} \left(1 + \frac{R_4}{R_{AJ}} + \frac{R_4}{R_3} + \frac{R_4 R_2}{R_3 R_{AJ}} \right). \quad (3.30)$$

Dacă $v_{i1} = 0$,

$$v_{o1} = v_{i2} + R_2 i_2 = v_{i2} \left(1 + \frac{R_2}{R_1} + \frac{R_2}{R_{AJ}} \right), \quad (3.31)$$

iar

$$v_o = -R_4 \left(\frac{v_{i2}}{R_{AJ}} + \frac{v_{o1}}{R_3} \right) = -v_{i2} \left(\frac{R_4}{R_{AJ}} + \frac{R_4}{R_3} + \frac{R_4 R_2}{R_3 R_{AJ}} + \frac{R_4 R_2}{R_3 R_1} \right). \quad (3.32)$$

Comparînd termenii din coeficienții celor două tensiuni de intrare, se observă că ei pot fi făcuți egali impunînd condiția :

$$\frac{R_4 R_2}{R_3 R_1} = 1 \text{ sau } \frac{R_4}{R_3} = \frac{R_1}{R_2}. \quad (3.33)$$

Atunci

$$v_o = (v_{i1} - v_{i2}) \left[1 + \frac{R_4}{R_3} \left(\frac{R_2 + R_3}{R_{AJ}} + 1 \right) \right]. \quad (3.34)$$

Amplificarea diferențială minimă se obține în absența rezistorului de ajustare ($R_{AJ} \rightarrow \infty$) și are valoarea $A_{V,m} = 1 + \frac{R_4}{R_3}$. (3.35)

Amplificarea maximă, posibilă conform relației (3.34) pentru $R_{AJ} \rightarrow 0$, ar trede spre ∞ , dar este limitată în realitate de amplificarea μ a AO. Pentru amplificatorul BB 3626, folosind rezistoare $R_4 = R_1 = 5 \text{ k}\Omega$ și $R_2 = R_3 = 1,25 \text{ k}\Omega$, amplificarea se poate ajusta între 5 și 1 000.

Impedanțele de intrare sunt mari ($10^9 \Omega$), dar CMR scade cu frecvență mai ales la amplificări mici, deoarece contribuția intrării 2 este defazată suplimentar față de intrarea 1 cu defazajul amplificatorului AO 1.

● Amplificator de măsurare pentru tensiuni de intrare mari. Amplificatorul de măsurare din figura 3.11 are două particularități privind impedanțele de intrare și tensiunile de intrare. Impedanța de intrare este determinată de cele două rezistoare conectate spre punctele virtuale de masă, respectiv R_2, R_5 . Valoarea acestora se poate controla mult mai exact decât impedanța de intrare într-un repetor, ce e drept mare dar variabilă în limite largi. Folosind rezistoare de intrare mari, tensiunile de intrare în AM pot depăși tensiunile de intrare admisibile ale AO și chiar tensiunile de alimentare ale acestora.

La ieșire

$$v_o = v_{i1} \left(-\frac{R_3}{R_2} \right) \cdot \left(-\frac{R_6}{R_4} \right) - v_{i2} \frac{R_6}{R_5}. \quad (3.36)$$

Impunînd $\frac{R_3 R_6}{R_2 R_4} = \frac{R_6}{R_5}$, circuitul amplifică diferența tensiunilor de intrare

$$v_o = (v_{i1} - v_{i2}) \frac{R_6}{R_5}. \quad (3.37)$$

Dacă valoarea maximă a tensiunii aplicate la intrare este v_{iM} și valoarea maximă a excursiei de tensiune la ieșirile amplificatoarelor este v_{oM} , trebuie

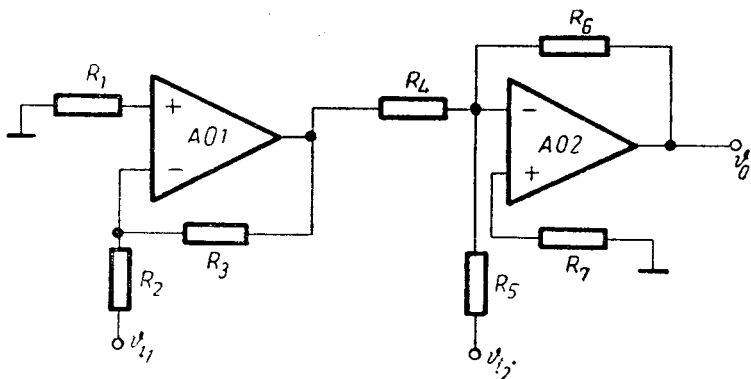


Fig. 3.11. Amplificator de măsurare pentru tensiuni de intrare mari.

satisfăcută inegalitatea $\frac{v_{IM}}{v_{OM}} < \frac{R_1}{R_6}$, deci pentru tensiuni de intrare mari amplificarea trebuie să fie subunitară pentru a evita saturarea amplificatoarelor operaționale.

• Amplificator de măsurare cu gardare pe modul comun. Un amplificator de măsurare cu performanțe bune este reprezentat în figura 3.12, unde se pot vedea și unele rafinamente practice. Etajul diferențial de intrare echipat cu AI cu CMR excellent, LH 0052, este structurat ca în figura 3.8, având amplificarea ajustabilă prin R_F . Etajul diferențial de ieșire este echipat cu amplificatorul operațional de precizie LM 725. R_{1B} permite asigurarea pro-

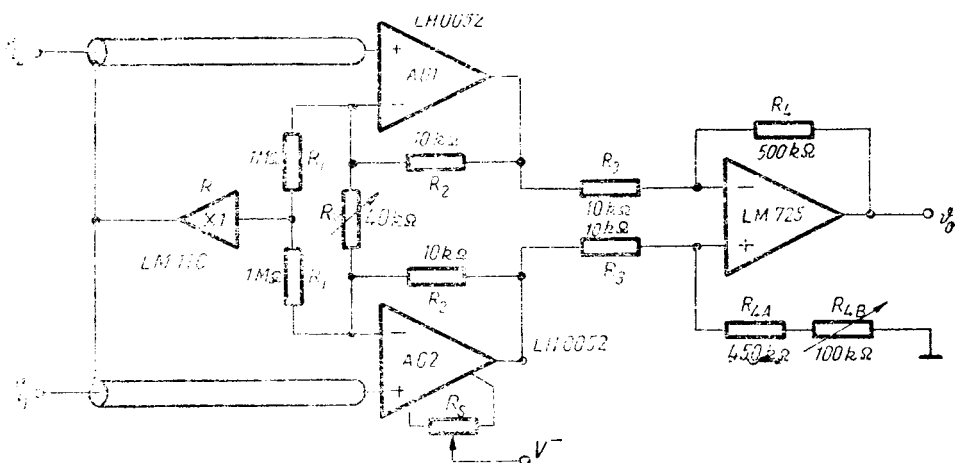


Fig. 3.12. Amplificator de măsurare cu gardare pe modul comun.

porției corecte între valorile rezistențelor aferente lui LM 725 și, prin aceasta, obținerea valorii maxime a CMR. Repetorul R preia prin rezistoarele R_1 componenta de mod comun a tensiunilor aplicate la intrare și asigură excitarea de la o rezistență internă mică a inelelor de gardă și a treselor cabluri de conectare la sursa de semnal (vezi și § 3.1.9).

3.1.2.2. Amplificatoare de măsurare cu reacție negativă de curent

AM cu reacție negativă de curent sunt amplificatoare de măsurare, denumite astfel după reacția negativă folosită la nivelul etajului de intrare, pentru asigurarea unei impedanțe mari de intrare și a amplificării variabile.

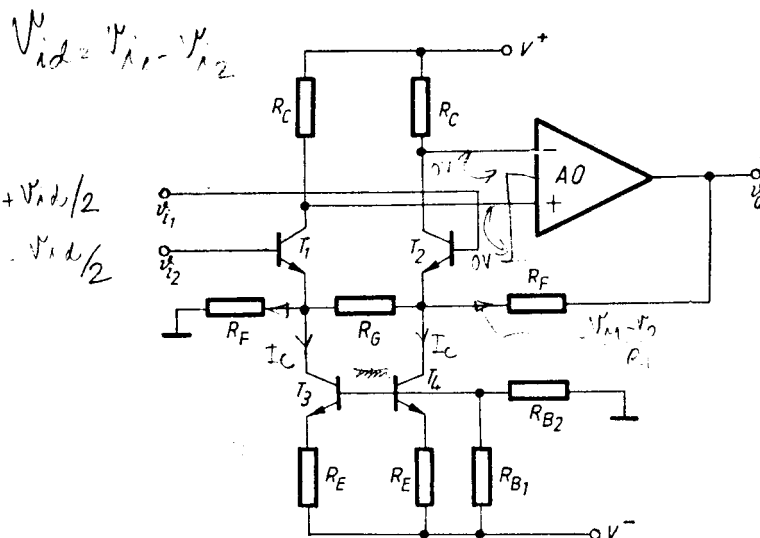


Fig. 3.13 Amplificator de măsurare cu reacție în curent.

o rezistență de reacție de curent $R_G/2$. Presupunind, pentru simplitate, un circuit echivalent al lui T_1 având numai rezistență de intrare r_π și generatorul comandat de curent $g_m V$, se pot deduce ușor expresiile :

— amplificării de semnal mic de la intrare la emitor :

$$A_{vE} = \frac{g_m R_G/2}{g_m R_G/2 + 1}; \quad (3.38)$$

— impedanței de intrare :

$$z_i = \frac{r_\pi}{1 - A_{vE}}; \quad (3.39)$$

— admitanței de transfer :

$$Y_t = g_m (1 - A_{vE}). \quad (3.40)$$

○ **Observație.** Relațiile se mențin și pentru TEC, cu mențiunea că r_π se înlocuiește cu r_{GS} care, spre deosebire de r_π , este independentă de curentul prin dispozitiv și are valori foarte mari ($10^{10}\dots 10^{12} \Omega$).

Conform relației (3.38), $A_{vE} \rightarrow 1$ pentru $g_m R_G/2 \gg 1$ deci tensiunile de intrare sunt repetate la extremitățile lui R_G .

Atunci cînd $A_{vE} \rightarrow 1$, $z_i \rightarrow \infty$ conform (3.39).

Reacția negativă de curent cu însumarea tensiunilor la intrare, numită și reacție serie-série, este indicată pentru amplificatoare cu mărime de intrare tensiune și mărime de ieșire curent, iar parametrul de transfer adecvat pentru caracterizarea lor este transadmitanța.

Un exemplu este prezentat în figura 3.13. Etajul de intrare diferențial cu T_1 , T_2 are conectată între emitoare rezistența R_G . Considerind semicircuitul pentru modul diferențial corespunzător lui T_1 , se observă că acesta are în emitor

Admitanța de transfer se poate exprima înlocuind expresia A_{v_E} din (3.38) în (3.40), rezultând :

$$Y_t = g_m \frac{1}{g_m R_G/2 + 1} \approx \frac{2}{R_G} \Big|_{g_m R_G/2 \gg 1} \quad (3.41)$$

Cu rezerva respectării inegalității $g_m R_G/2 \gg 1$ transadmitanța este determinată de un element pasiv care poate fi ușor controlat și are o bună precizie și stabilitate.

Curentul diferențial de ieșire din T_1 , T_2 este convertit în tensiune prin rezistoarele R_C și este aplicat intrărilor AO , care prin cele două rezistoare R_F închide o buclă de reacție negativă globală pe întregul AM . Raportat la intrările AO , efectul acestei reacții este egalarea potențialelor celor două intrări deci, implicit, egalarea curentilor de colector ai T_1 , T_2 . Egalarea celor doi curenți în prezența unei tensiuni diferențiale la intrare $v_{id} = v_{i1} - v_{i2}$ se realizează prin curenții care circulă prin rezistențele R_F . note AO

Admitând că tranzistoarele au o amplificare în curent mare, se poate considera că $i_C \approx i_E = I_C$, I_C fiind curentul generatoarelor de curent constant T_3 , T_4 , și admitând că amplificarea $A_{rE} = 1$, egalitatea curentilor la cele două emitoare se exprimă sub forma :

$$\frac{v_{i2}}{R_F} + I_C - \frac{v_{id}}{R_G} = \frac{v_{i1} - v_o}{R_F} + I_C + \frac{v_{id}}{R_G}, \quad (3.42)$$

de unde

$$A_V = \frac{v_o}{v_{id}} = \frac{v_o}{v_{i1} - v_{i2}} = 1 + 2 \frac{R_F}{R_G}, \quad (3.43)$$

deci *amplificarea globală este controlată de elemente rezistive*, cerință esențială în realizarea unor amplificatoare de calitate.

Impedanța de intrare pe modul diferențial se calculează cu (3.39), observind că $R_G/2$ trebuie înlocuit cu $R_G/2 \parallel R_F$.

Impedanța de intrare pe modul comun se obține cu aceeași relație, înlocuind $R_G/2$, care nu conduce curent pe modul comun, prin R_F pentru o singură intrare sau prin $R_F/2$ pentru cele două intrări conectate în paralel.

Rejecția semnalelor de mod comun este determinată în primul rînd de egalitatea valorilor celor două perechi de rezistoare, R_C și R_F . Se observă că semnalul de mod comun se aplică direct rezistoarelor R_F .

• Amplificatoare de măsurare cu reacție imbunătățită a modului comun.

• În schemele din figurile 3.14, 3.15, renunțindu-se la reacția negativă globală, tensiunea de mod comun nu se mai aplică rezistoarelor de reacție. Etajul de intrare are reacție locală prin R_G , iar etajul diferențial de ieșire cu AO are reacție locală prin R_F , R_C . În figura 3.14 este evidentă modalitatea obținerii unei *pante mari*, prin folosirea tranzistoarelor compuse T_1-T_3 , T_2-T_4 .

În figura 3.15 se sugerează modurile de compensare a offsetului prin potențiometrul de $1\text{ k}\Omega$, de protecție a tranzistoarelor de intrare prin diodele D_1 , D_2 și de menținere a curentului static prin sursele de curent T_3 , T_4 , independent de tensiunile de alimentare, cu ajutorul diodei de referință LM 113. Pentru ambele scheme se poate deduce expresia amplificării diferențiale :

$$A_V = \frac{2R_F}{R_G}. \quad (3.44)$$

Rejecția modului comun în cazul acestor configurații depinde, în afară de similitudinea componentelor active, de abaterea de la egalitate a perechilor de rezistoare R_C și R_F , abatere care determină în definitiv rejecția modului comun corespunzătoare etajului diferențial de ieșire. Rejecția globală se îmbunătățește proporțional cu amplificarea etajului de intrare și, prin urmare, este mai mare la amplificări diferențiale mari, adică tocmai atunci cînd componența diferențială a tensiunii de intrare este mai mică față de componența de mod comun.

O altă metodă de îmbunătățire a CMR în scheme cu reacție negativă globală, constă în evitarea apariției tensiunii de mod comun pe rezistoarele de fixare a amplificării și este reprezentată în figura 3.16. Tranzistoarele T_1 , T_2 repetă în emitoarele lor (neglijînd v_{BE}) tensiunile aplicate celor două intrări, dar aceste tensiuni apar în colectoarele tranzistoarelor T_7 , T_8 și nu în emitoarele acestora, unde sunt conectate rezistoarele de reacție R_A , R_B . Din punctul de vedere al reacției negative, funcționarea este similară cu a schemei din figura 3.13, constînd în compararea curentului diferențial cu un curent de reacție în emitoarele tranzistoarelor T_7 , T_8 , dar cu deosebirea că acest curent de reacție este determinat în emitoarele tranzistoarelor și transferat în raportul $\alpha = \frac{i_c}{i_n}$ în colectoare.

Tranzistoarele de intrare pot „glisa” între două surse de curent constant, sursele I_C în colectoare și tranzistoarele T_7 , T_8 în emitoare. Variațiile de curent din colectoarele tranzistoarelor T_1 , T_2 sunt preluate de tranzistoarele T_3 , T_4 și diferența acestora este transmisă prin

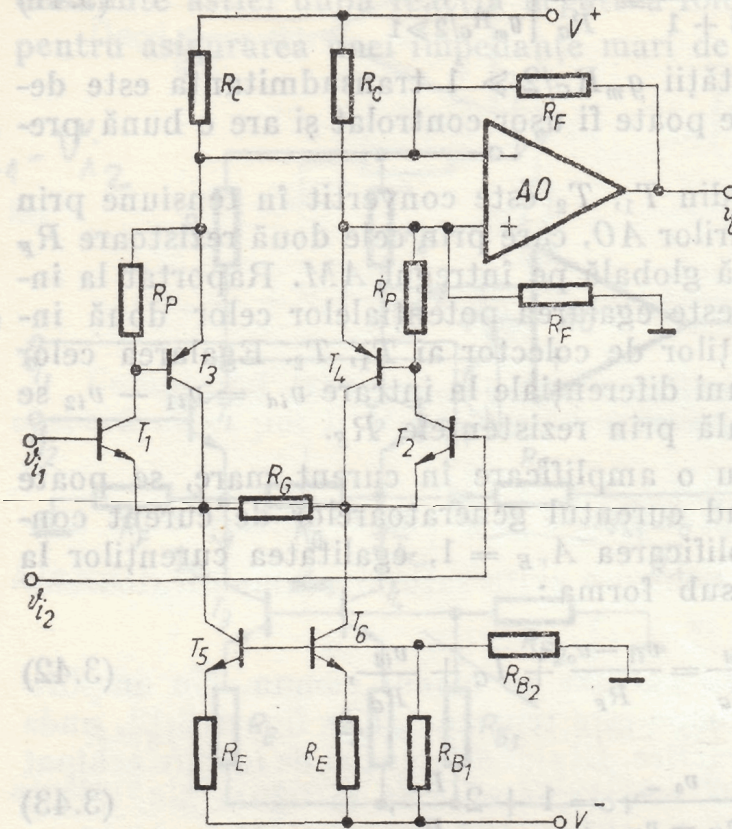


Fig. 3.14. Amplificator de măsurare cu rejecție îmbunătățită a modului comun

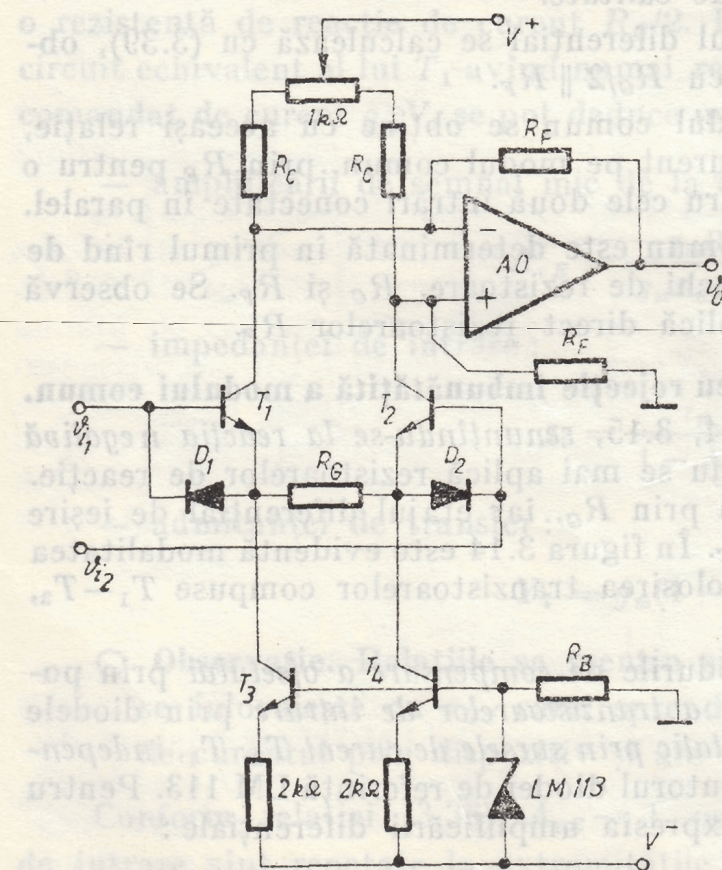


Fig. 3.15. Amplificator de măsurare cu rejecție îmbunătățită a modului comun.

în oglindă de curent T_5 , T_6 amplificatorului operațional AO , de la a cărui ieșire se închide bucla globală de reacție. Această reacție negativă globală forțează anularea tensiunii diferențiale la intrarea AO , deci egalarea curentilor $i_{C3} = i_{C4}$.

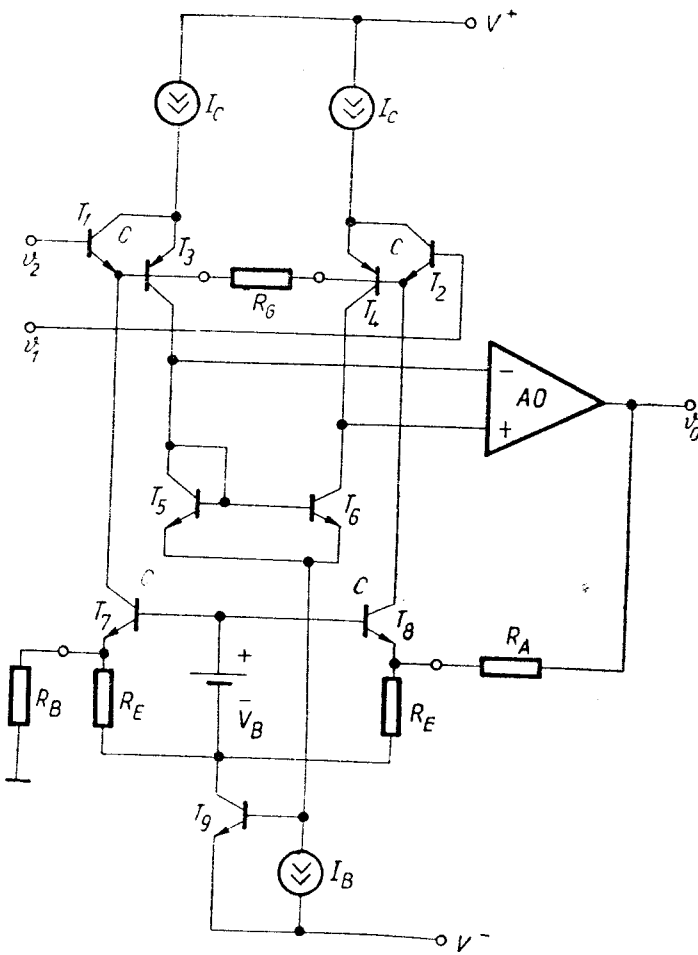


Fig. 3.16. Amplificatorul de măsurare BB 3662.

Presupunând pentru toate tranzistoarele $\beta \gg 1$, $\alpha \approx 1$, rezultă egalitatea $i_{E3} = i_{E4}$; $i_{C1} = i_{C2}$; $i_{E1} = i_{E2}$.

În emitoarele tranzistoarelor T_1 , T_2 se poate scrie :

$$\frac{v_2 - v_1}{R_G} + i_{E7} = i_{E8} - \frac{v_2 - v_1}{R_G}. \quad (3.45)$$

Exprimând

$$i_{E7} = \frac{V_B - v_{BE7}}{R_{E7}} + \frac{v_{E7}}{R_B}; \quad i_{E8} = \frac{V_B - v_{BE8}}{R_{E8}} + \frac{v_{E8} - v_o}{R_A} \quad (3.46)$$

și înlocuind în relația (3.45) rezultă :

$$\frac{2(v_2 - v_1)}{R_G} + \frac{V_B}{R_{E7}} - \frac{v_{BE7}}{R_{E7}} + \frac{v_{E7}}{R_B} = \frac{V_B}{R_{E8}} - \frac{v_{BE8}}{R_{E8}} + \frac{v_{E8}}{R_A} - \frac{v_o}{R_A} \quad (3.47)$$

și grupind convenabil termenii, se exprimă v_o :

$$v_o = (v_1 - v_2) \frac{2R_A}{R_G} + V_B R_A \left(\frac{1}{R_{E8}} - \frac{1}{R_{E7}} \right) + R_A \left(\frac{v_{BE7}}{R_{E7}} - \frac{v_{BE8}}{R_{E8}} \right) + R_A \left(\frac{v_{E8}}{R_A} - \frac{v_{E7}}{R_B} \right). \quad (3.48)$$

Primul termen reprezintă amplificarea tensiunii diferențiale de intrare, iar următorii sunt termeni de decalaj la ieșirea amplificatorului. Presupunând $R_{E8} = R_{E7}$, se anulează termenul proporțional cu V_B , dar termenul al treilea, proporțional cu offsetul perechii de tranzistoare T_7, T_8 , $V_{OS7,8} = v_{BE7} - v_{BE8}$, rămîne nenul pentru $V_{OS7,8} \neq 0$. Admitînd că se anulează și acest termen, rezultă din ecuația de tensiuni între E_7 și E_8 , $v_{E8} = v_{E7} = v_E$. Pentru asigurarea unei excursii în tensiune satisfăcătoare spre V^- , $v_E \cong -13$ V și avind $|v_E| \gg |V_{OS7,8}|$, rezultă că ultimul termen are contribuția dominantă în decalajul la ieșire:

$$v_o \cong (v_1 - v_2) \frac{2R_A}{R_G} - (13 \text{ V}) \left(1 - \frac{R_A}{R_B} \right). \quad (3.49)$$

Prin ajustarea offsetului tranzistoarelor de intrare T_1, T_2 și al tranzistoarelor T_7, T_8 , al rezistoarelor R_E cu fascicul laser ca și prin folosirea unor rezistoare de reacție $R_A = R_B$ în toleranțe foarte strânse, tensiunea de decalaj raportată la intrarea AM poate fi coborâtă pînă la o valoare:

$$[V_{OS} = \pm \left(0.4 + \frac{100}{A_v} \right) \text{ mV}.] \quad (3.50)$$

În circuitul real, pentru a asigura amplificări de curent cît mai apropiate de unitate, și un factor de transfer unitar oglinzi de curent, tranzistoarele $T_1 \dots T_4$ sunt tranzistoare compuse.

● Schema simplificată din figura 3.17 reprezintă un **amplificator de măsurare monolitic [E18]**. Etajul de intrare cu reacție de curent prin R_G transferă variațiile de curent diferențiale prin T_{45}, T_{44} în emitoarele tranzistoarelor T_{50}, T_{51} , unde se face compararea cu variațiile de curent diferențiale, corespunzătoare tensiunilor din circuitul ieșirii. $T_{25}, T_{26}, T_{30}, T_{32}$ și T_{56} formează un *AO* cu intrare diferențială în curent, din colectoarele tranzistoarelor T_{50} și T_{51} . Reacția negativă care se închide prin conectarea bornelor O cu S forțează egalarea curentilor $I_{51} = I_{50}$ și, presupunind $\alpha = 1$, și a curentilor în emitoarele celor două tranzistoare. Egalind variațiile de curent corespunzătoare tensiunilor din circuitele intrării și respectiv ieșirii,

$$\frac{v_{i1} - v_{i2}}{R_G} = \frac{v_o - V_R}{R_S}, \quad (3.51)$$

se obține direct expresia tensiunii de ieșire:

$$[v_o = (v_{i1} - v_{i2}) \frac{R_S}{R_G} + V_R.] \quad (3.52)$$

Prin posibilitatea conectării bornei de referință R la un potențial V_R , tensiunea de ieșire poate fi „așezată“ pe un „piedestal“ ajustabil.

○ **Notă.** Această facilitate există și la schemele din figurile 3.5, 3.7, 3.14, 3.15, prin deconectarea de la masă a rezistorului din amplificatorul diferențial de ieșire și conectarea lui la un potențial de referință V_R .

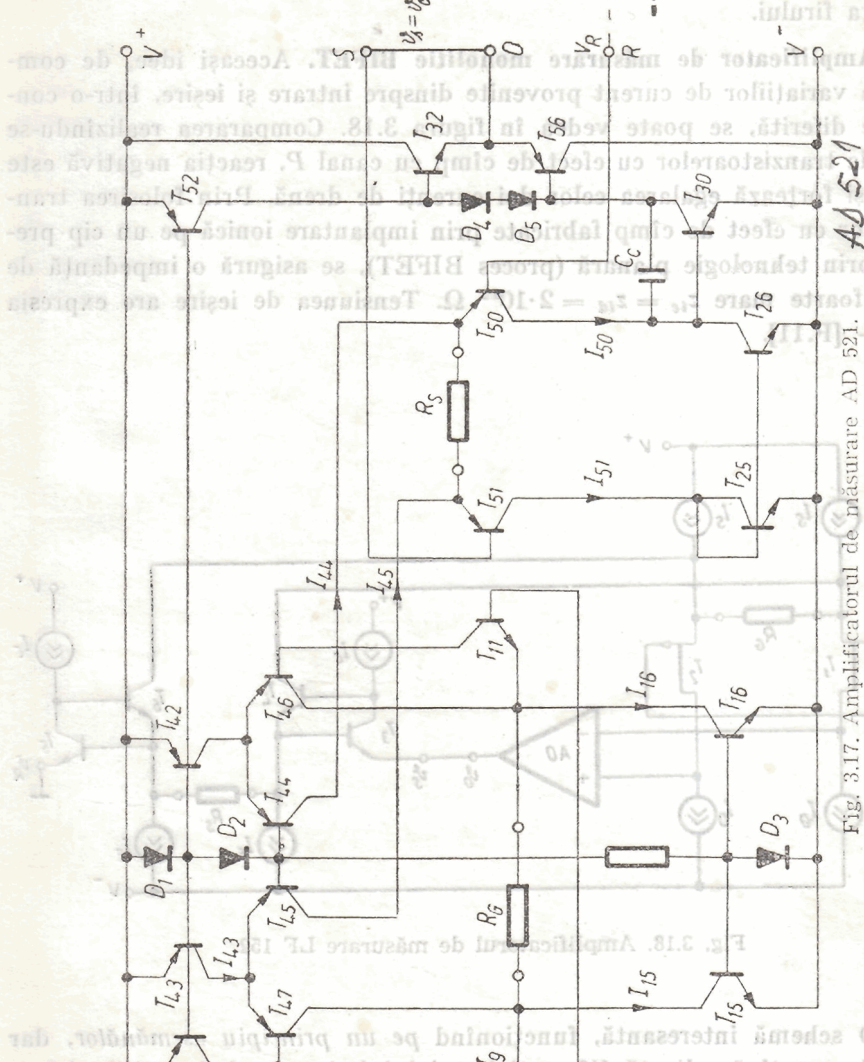


Fig. 3.17. Amplificatorul de măsurare AD 521.

93

Posibilitatea conectării prin exterior a bornei S la borna de ieșire O permite includerea în bucla de reacție negativă a amplificatorului de ieșire și a rezistenței serie a cablului de conexiune, în cazul în care sarcina amplificatorului este conectată la distanță. În acest caz, la borna caldă a sarcinii se conectează printr-un alt fir, care nu este parcurs de curent, borna S . În acest fel se reduce cu cîteva ordine de mărime eroarea determinată de rezistența firului.

● **Amplificator de măsurare monolitic BIFET.** Aceeași idee, de comparare a variațiilor de curent provenite dinspre intrare și ieșire, într-o configurație diferită, se poate vedea în figura 3.18. Compararea realizindu-se în sursele tranzistoarelor cu efect de cimp cu canal P , reacția negativă este globală și forțează egalarea celor doi curenti de drenă. Prin folosirea tranzistoarelor cu efect de cimp fabricate prin implantare ionică pe un cip prelucrat prin tehnologie planară (proces BIFET), se asigură o impedanță de intrare foarte mare $z_{ic} = z_{id} = 2 \cdot 10^{12} \Omega$. Tensiunea de ieșire are expresia (3.52) — [F.11].

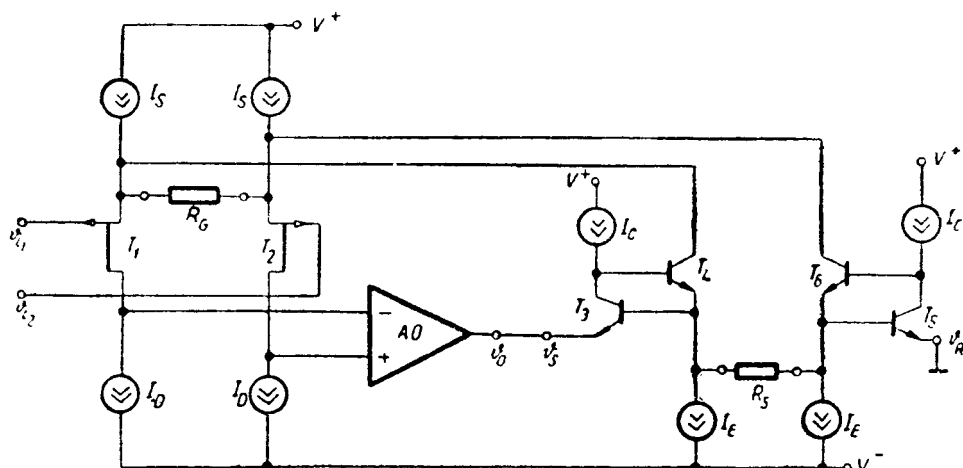


Fig. 3.18. Amplificatorul de măsurare LF 152.

● O schemă interesantă, funcționînd *pe un principiu asemănător*, dar cu reacția negativă aplicată diferențial etajului de intrare de la ieșirile $AO\ 1$, $AO\ 2$, stă la baza **AM hibrid** tip LH 0038 (fig. 3.19). Variațiile tensiunilor v_1 , v_2 sunt convertite prin R_{16} , R_{17} direct în variații de curent, care sunt comparate în emitoarele tranzistoarelor T_1 , T_2 . Folosind o pereche foarte bună de tranzistoare la intrare (rezistoare cu peliculă metalică, ajustate cu laser), această schemă permite atingerea unor performanțe deosebite: V_{OS} tipic $25\ \mu V$, $\delta V_{OS}/\theta\max$. $0,25\ \mu V/{^\circ}C$, CMR min. $120\ dB$.

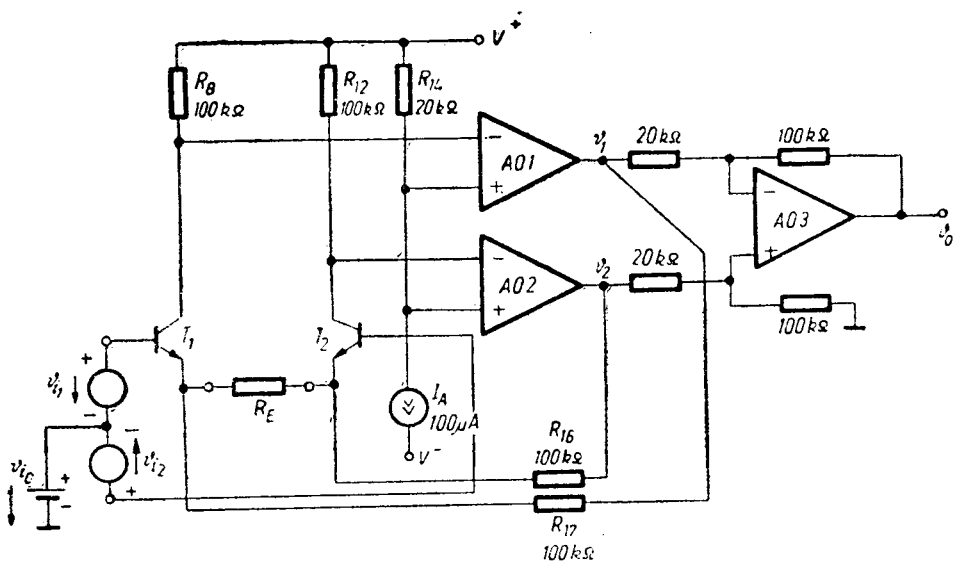


Fig. 3.19. Amplificatorul de măsurare LIH 0038.

3.1.3. RĂSPUNSUL ÎN FRECVENTĂ

Răspunsul în frecvență al AM, ca la orice amplificator cu reacție negativă, depinde de mărimea reacției negative. Atunci cînd reacția negativă este puternică, mai ales în configurațiile cu reacție globală, polul dominant la frecvențe înalte se deplasează spre frecvențe mai mari și primul pol nedominant coboară spre frecvențe mai joase. Această apropiere a polilor determină apariția unor suprareșteri în răspunsul în frecvență ca și în răspunsul în timp. Totuși AO componente sunt în așa fel compensate, încit suprareșterea să fie neglijabilă pentru toate valorile amplificării A_v , la majoritatea AM. Răspunsul în frecvență este deci corespunzător unui singur pol și, prin urmare, frecvența de tăiere la -3 dB se determină cu relația:

$$f_S = \frac{f_T}{A_v}. \quad (3.53)$$

3.1.4. REGLAREA AMPLIFICĂRII

Amplificarea reglabilă în AM constituie o problemă destul de dificilă în realizarea practică a acestora. Pentru a fi accesibile din exterior, elementele de reglaj (potențiometrele sau comutatoarele cu rețele rezistive) trebuie montate la distanță de amplificatorul propriu-zis. Firele de interconexiune culeg tensiuni de zgomot prin interferență electromagnetică sau trebuie ecranate împreună cu elementul de reglaj, în care caz se înrăutățește răs-

punsul la frecvențe superioare datorită capacităților parazite suplimentare. În cazul comutatoarelor, atunci cînd cursorul se mută de pe un plot pe altul, amplificatorul poate rămîne cu reacția negativă întreruptă și, ca urmare a amplificării foarte mari din bucla deschisă, se ajunge la saturarea acestuia. Revenirea din saturare se face într-un interval de timp relativ mare, care poate fi supărată mai ales la sisteme de prelucrare a mărimilor rapid variabile.

Soluționarea acestor inconveniente se face prin montarea elementelor de reglaj în proximitatea amplificatorului sau chiar prin montarea acestora pe aceeași placă și prin alegerea configurației circuitului astfel încît să existe permanent o reacție negativă.

• **Modificarea amplificării pentru un amplificator inversor și un amplificator neinversor.** Două exemple de realizare pentru amplificatorul inversor, respectiv neinversor, se pot vedea în figurile 3.20, 3.21. Rezistoarele de la stînga crestăturii cursorului conectate în paralel contează ca rezistor de intrare, iar rezistoarele de la dreapta contează ca rezistor de reacție.

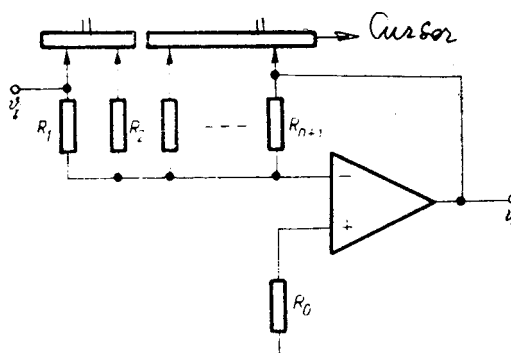


Fig. 3.20. Modificarea amplificării la amplificatorul inversor.

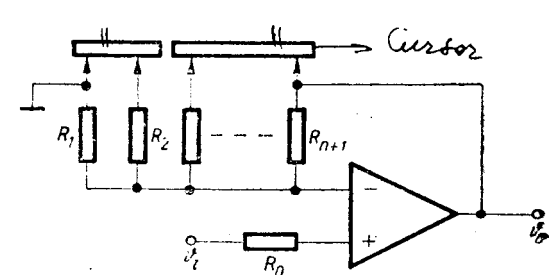


Fig. 3.21. Modificarea amplificării la amplificatorul neinversor.

Considerind șirul ordonat al amplificărilor necesare $A_0 < A_1 \dots < A_n$, cu restricțiile $A_0 = 0$ pentru amplificatorul inversor, $A_0 = 1$ pentru amplificatorul neinversor și $A_n = \infty$, se pot demonstra relațiile de calcul pentru rezistențe:

$$R_{i-1} = \frac{(A_{i+1} + 1)(A_i - A_{i-1})}{(A_{i-1} + 1)(A_{i+1} - A_i)} \cdot R_1; \quad R_O = \left(1 - \frac{1}{A_1}\right) \cdot R_1 \quad (3.54)$$

pentru amplificatorul inversor și

$$R_{i+1} = \frac{A_{i+1}(A_i - A_{i-1})}{A_{i-1}(A_{i+1} - A_i)} \cdot R_1; \quad R_O = \frac{A_1}{1 + A_1} \cdot R_1 \quad (3.55)$$

• **Amplificator de măsurare cu amplificare programabilă.** O rezolvare elegantă se poate vedea în figura 3.22. Atât comutatoarele MOS, cât și rețelele de rezistoare pentru modificarea amplificării sunt montate pe același substrat ceramic, care constituie suportul *AM* hibrid BB 3606 și sunt ecranate împreună cu tot ansamblul. Selectarea comutatoarelor închise se face printr-un decodator comandat de un cuvînt de 4 biți și memorat într-un registru.

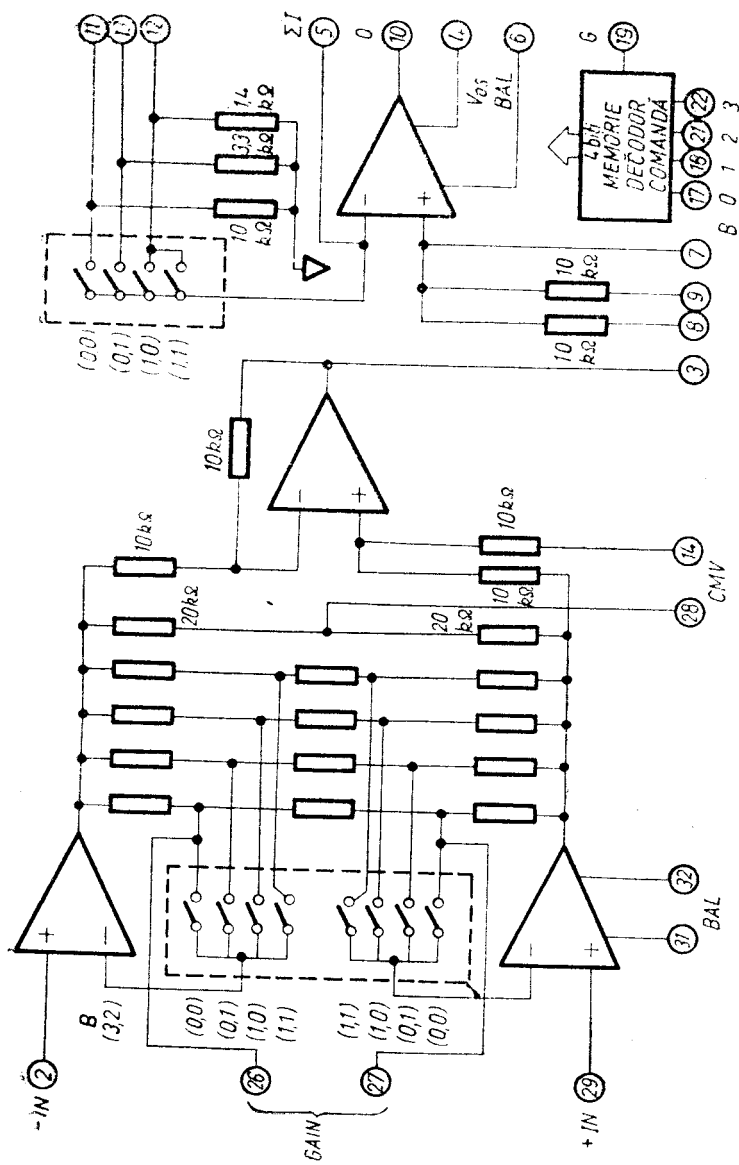


Fig. 3.22. Amplificator de măsurare cu amplificare programabilă.

3.1.5. COMPENSAREA OFSETULUI

Compensarea offsetului se poate impune la măsurarea unor tensiuni foarte mici (termocupluri) sau în lipsa unui *AM* cu parametrii de offset și derivă satisfăcători. Prin corectarea periodică a tensiunii de offset în intervalele de timp cînd nu se face efectiv măsurarea, performanțele amplificatorului se pot îmbunătăți cu cîteva ordine de mărime.

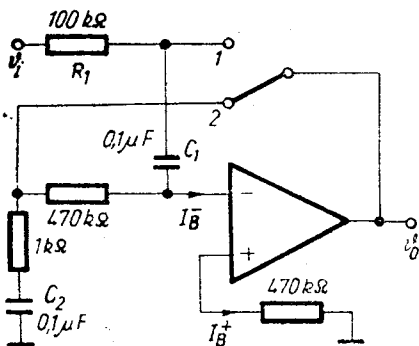


Fig. 3.23. Amplificator de decalaj corecat periodic.

Cînd comutatorul trece în poziția 1, tensiunea pe cele două condensatoare rămîne constantă, pentru intervalele de timp mult mai mici decît constanțele de timp, iar tensiunea de ieșire se exprimă ușor:

$$\begin{aligned} v_o &= -470 \text{ k}\Omega \cdot I_B^+ + V_{os} + v_{c1} = -470 \text{ k}\Omega \cdot I_B^+ + V_{os} + \\ &+ v_i - V_{os} + 470 \text{ k}\Omega \cdot I_B^+ = v_i. \end{aligned} \quad (3.56)$$

Deci tensiunea de ieșire corespunzătoare poziției 1 are chiar valoarea tensiunii de intrare și prin \$R_1\$ nu circulă curent. Prin urmare, schema asigură — pe lîngă compensarea offsetului — o impedanță de intrare teoretic infinită după atingerea regimului staționar.

• Anularea periodică a tensiunii de offset. În schema din figura 3.24, intrarea în *AO* 1 este conectată periodic la masă simultan cu comutarea ieșirii sale la intrarea în *AO* 2. În regim permanent *AO* 2 funcționează fără reacție, astfel încît pentru o eroare statică totală la intrarea *AO* 1 de mărime \$V_{ST} = V_{os_1} + (1 \text{ k}\Omega \parallel 5.1 \text{ k}\Omega) I_B^- - 1 \text{ k}\Omega \cdot I_B^+\$, tensiunea necesară la intrarea sa, deci la ieșirea *AO* 1, este \$\frac{5.1 \text{ k}\Omega}{1 \text{ k}\Omega} V_{ST}/\mu_2 + V_{os}\$, și, lîinind seama de valoarea mare a lui \$\mu_2\$, este practic \$V_{os_2}\$. În consecință, tensiunea de offset la ieșirea lui *AO* 1 este tensiunea de offset la intrarea în *AO* 2. Tensiunea de offset echivalentă la intrarea lui *AO* 1 este \$V_{os_2}/\mu_1\$, atât de mică încît este neglijabilă față de tensiunile generate prin succesiunea de termocupluri între materialele, evident neomogene, care constituie circuitul.

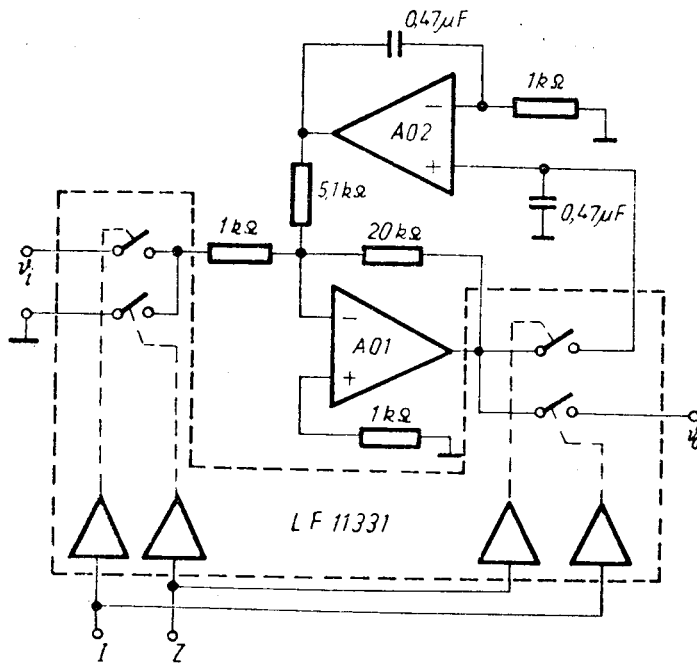


Fig. 3.24. Amplificator operational cu anulare periodică a decalajului.

3.1.6. AMPLIFICATORUL DE SARCINĂ

Amplificatorul de sarcină (AS) este un *AM particular, destinat măsurării cu traducere a căror mărime de ieșire este o sarcină electrică.*

- În figura 3.25 este reprezentat un AS conectat la un **traductor capacativ**, de capacitate totală $C_t = C + \delta C$, prepolarizat cu o tensiune continuă V_p (de exemplu, traducere capacitive pentru depasări sau microfoane cu condensator). Admitând că intrarea în $A0$ este punct virtual de masă, sarcina din C este constantă. Variația δC produce sub tensiune constantă V_p o variație de sarcină

$$\delta q = V_p \cdot \delta C. \quad (3.57)$$

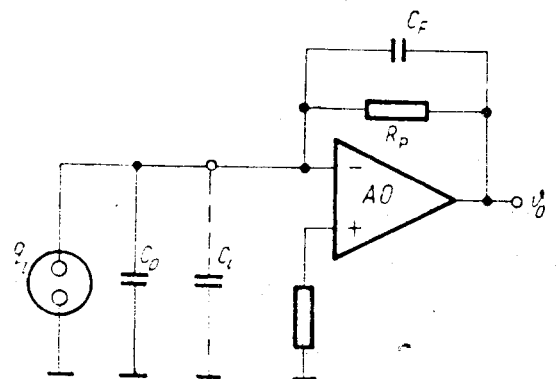


Fig. 3.25. Amplificator de sarcină pentru traductor capacativ.

- 3.25
- În figura 3.26 este reprezentat un AS conectat la un traductor piezoelectric de capacitate proprie C_0 , care sub acțiunea unei forțe aplicate din exterior generează o sarcină

$$q_i = K_p F. \quad (3.58)$$

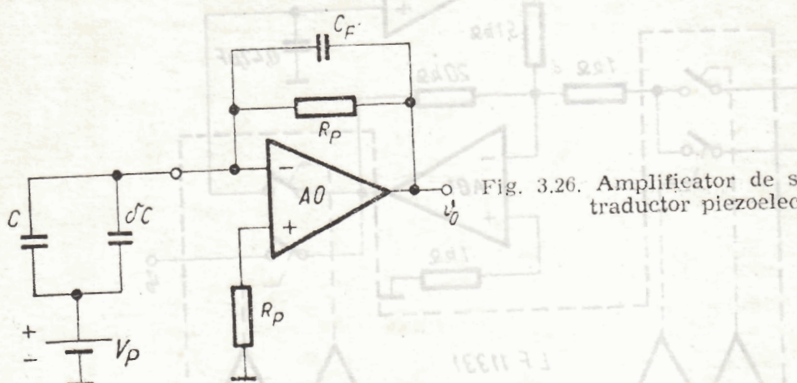


Fig. 3.26. Amplificator de sarcină pentru traductor piezoelectric.

Sarcina prezentată la intrare se transmite în principiu integral condensatorului de reacție C_F și produce față de intrarea inversoare o tensiune de ieșire

$$v_o = -q_i / C_F. \quad (3.59)$$

În circuitele cu AO , rezistorul R_P inchide calea de curent de polarizare I_B^- spre ieșirea AO . Chiar la un AO ideal, la care virtual R_P poate lipsi, există o rezistență finită R_P care corespunde rezistenței de izolație a condensatorului C_F . Considerind frecvențe relativ mari, pentru care $R_P \gg \frac{1}{\omega C}$, rezistența se poate neglijă și se poate determina capacitatea de intrare echivalentă prin efect Miller :

$$C_i = C_F(1 + \mu) \cong \mu C_F. \quad (3.60)$$

Datorită amplificării de tensiune foarte mari a AO , μ , capacitatea de intrare echivalentă ia valori foarte mari, chiar pentru condensatoare de reacție relativ mici. De exemplu, pentru $C_F = 1 \text{ nF}$ și $\mu = 10^5$ rezultă $C_i = 100 \mu\text{F}$. Sarcina debitată de traductor se împarte între C_0 și C_i proporțional cu valorile capacităților. Sarcina preluată efectiv de amplificator (adică preluată de C_i) este

$$q_{ia} = q_i \frac{C_i}{C_0 + C_c + C_i}, \quad (3.61)$$

unde C_c este capacitatea cablului de conexiune cu traductoare și depinde de lungimea cablului ($C_c = C_{specific} \cdot l$), iar C_0 este de ordinul de mărime 1 nF sau mai mic. Tipic, $C_{specific} \cong 100 \text{ pF/m}$. Observând ordinele de mărime, este evident că $q_{ia} \cong q_i$, adică toată sarcina este preluată de condensatorul de reacție din amplificator. Altfel spus, amplificarea disponibilă de sarcină este practic egală cu amplificarea de sarcină ideală. Admitând o măsurare cu 10^{-3} a amplificării disponibile, $C_0 + C_c$ trebuie să fie, pentru exemplul dat, mai mic decât 100 nF , ceea ce la un $C_0 = 1 \text{ nF}$ permite folosirea unui cablu de lungime $l = 99 \text{ nF}/100 \text{ pF/m} = 990 \text{ m}$. Amplificarea de sarcină este practic independentă de capacitatea traductorului și a cablului de conexiune.

● Răspunsul în freevență al amplificatoarelor de sarcină. Atât pentru traductoare cu condensator, cât și pentru traductoare piezoelectrice, circuitul de intrare în AS poate fi modelat printr-o sursă de tensiune v_i și un condensator serie de capacitate C_0 ca în figura 3.27, observând că

$$i_i = \frac{dq_i}{dt} = \frac{dv_i}{dt} C_0 \quad (3.62)$$

sau, în forma operațională,

$$i_i(s) = sC_0 \cdot v_i(s). \quad (3.63)$$

Această modelare permite considerarea AS ca un amplificator de tensiune și ușurează *calculul amplificării*. Considerind un AO ideal, intrarea inversoare este punct virtual de masă. La această bornă, conform primei teoreme a lui Kirchhoff se poate scrie:

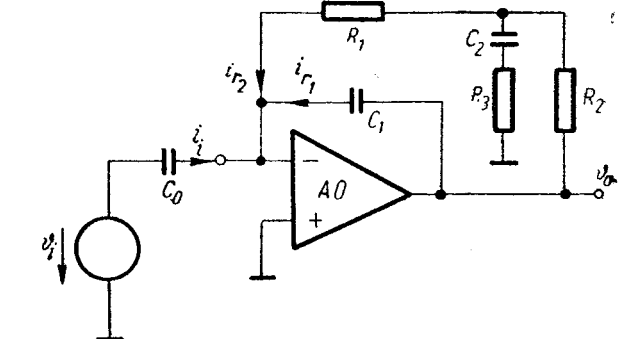


Fig. 3.27. Amplificator de sarcină pentru frecvențe relativ joase.

$$i_i + i_{r1} + i_{r2} = 0. \quad (3.64)$$

Separat, se pot exprima cele trei curenți:

$$i_i(s) = v_i(s) \cdot sC_0; \quad (3.65)$$

$$i_{r1}(s) = v_o(s) \cdot sC_1; \quad (3.66)$$

$$i_{r2}(s) = v_o(s) \frac{1}{R_1 + R_2} \cdot \frac{1 + sC_2 R_3}{1 + sC_2 \left(\frac{R_1 R_2}{R_1 + R_2} + R_3 \right)}. \quad (3.67)$$

Admitând $i_{r2} \ll i_{r1}$, amplificarea în tensiune se poate exprima, din relațiile (3.65) și (3.66):

$$A_V = \frac{v_o}{v_i} = -\frac{C_0}{C_1} \quad (3.68)$$

și de aici *factorul de transfer în sarcină*, care are dimensiunea unei elastanțe de transfer S , va fi

$$S_{tr} = \frac{v_o}{q_i} = \frac{v_o}{C_0 v_i} = \frac{A_V}{C_0} = \frac{1}{C_1} \quad [\text{V/C}], \quad (3.69)$$

cum reiese și din analiza calitativă în relația (3.59).

Transelastanța AS este, conform relației (3.69), independentă de frecvență.

Limitarea răspunsului la frecvențe superioare se datorează scăderii amplificării AO :

$$\mu(s) = \frac{\frac{1}{C_0}}{1 + \frac{s}{\omega_0}}. \quad (3.70)$$

Limitarea răspunsului la frecvențe joase se datorează celei de-a doua căi de reacție (i_{r2}), la care nu se poate renunța datorită obligativității închiderii circuitului de c.c. al curentului I_B^- . Folosind AO cu intrarea pe TEC și curenți de polarizare de ordinul 10^{-11} A se pot admite, pentru erori statice de or-

dinul milivoltilor, rezistențe $(R_1 + R_2)$ de ordinul $10^8 \Omega$. Frecvența polului lui i_{r2} din relația (3.67) este :

$$f_p = \frac{1}{2\pi C_2 \left(\frac{R_1 R_2}{R_1 + R_2} + R_3 \right)}, \quad (3.71)$$

iar frecvența nulului :

$$f_n = \frac{1}{2\pi C_2 R_3}. \quad (3.72)$$

Admitând $R_1 = R_2 = 10^8 \Omega$, alegind $R_3 = 10^6 \Omega$ și $C_2 = 10^{-7} F$, rezultă $f_p = 0,03 \text{ Hz}$ și $f_n = 1,59 \text{ Hz}$. Frecvența de tăiere inferioară a AS va fi deci de ordinul 1 Hz, corespunzător nulului lui i_{r2} .

Asigurarea unui *răspuns fără supracreșteri* preținde studierea funcției de transfer complete : σΔσ - (mii de rezerve la 3.65, 3.66, 3.67)

$$\frac{v_o}{v_i} = \frac{sC_0(R_1 + R_2) \left[1 + sC_2 \left(R_3 + \frac{R_1 R_2}{R_1 + R_2} \right) \right]}{1 + s[C_2 R_3 + C_1(R_1 + R_2)] + s^2 C_1 C_2 [(R_1 + R_2) R_3 + R_1 R_2]} \quad (3.73)$$

● În figura 3.28 este prezentată schema unui **amplificator de sarcină diferențial**, insensibil la tensiunile de mod comun aplicate la intrare. Traductorul se conectează între cele două intrări printr-un cablu bifilar ecranat, cu tresa conectată la masă. Comparând cu schema din figura 3.27 se observă că schema diferențială s-a obținut prin duplicarea simetrică a acesteia. R_3 corespunde la $2,35 M\Omega$, iar C_2 la $0,44 \mu F$. Reacția negativă pentru borna ne-

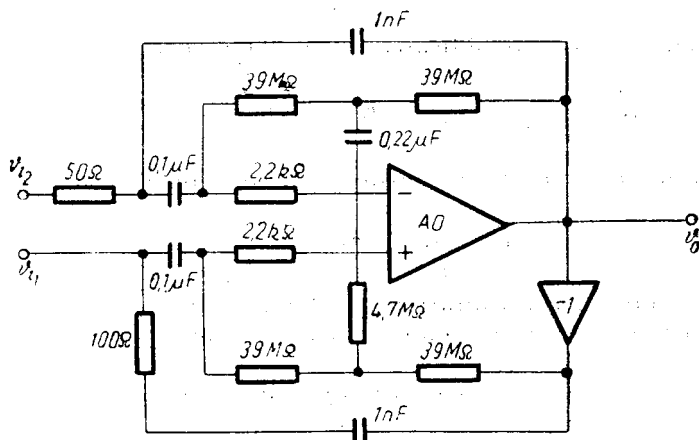


Fig. 3.28. Amplificator de sarcină pentru traductor diferențial.

înversoare se obține la ieșirea unui inversor cu amplificare unitară a căruia tensiune de ieșire variază simetric față de v_o . Cu valoările din schemă, frecvența de tăiere jos este $0,2 \text{ Hz}$. AO trebuie să aibă TEC la intrare. Ca alternativă, se poate utiliza schema din figura 3.82, § 3.2.3 [E 19].

3.1.7. AMPLIFICATOARE DE IZOLARE AI

Performanțele bune ale *AM*, așa cum rezultă din paragrafele precedente, sunt o consecință a folosirii judicioase a reacției negative. Bucile de reacție negativă funcționează normal doar dacă toate elementele componente lucrează în zona lor activă normală. Saturarea unui amplificator de intrare sau deschiderea diodelor de protecție a intrărilor, prin depășirea tensiunilor admisibile la intrare, determină o creștere drastică a curentilor de intrare și reducerea impedanțelor de intrare. Lucrurile pot lua o întorsătură și mai gravă dacă se străpung tranzistoarele de intrare, permitînd trecerea unui curent important de la sursele de alimentare în c.c. a *AM* spre sursa de semnal. Surse de semnal cum sunt elementele normale Weston și unele traductoare electrochimice se pot deteriora temporar sau definitiv prin trecerea unor curenți de ordinul miliamperilor. Dacă sursa de semnal este un ansamblu de electrozi conectați la un animal de experiență sau la un pacient, malfuncționarea *AM* poate duce la consecințe foarte grave, fatale.

De aici — necesitatea unor *AM* care să permită preluarea semnalului și prelucrarea sa în proximitatea sursei de semnal, dar să eliminate orice cuplaj galvanic cu circuitele de ieșire care, de cele mai multe ori, sunt conectate cu alte apărate electronice sau de automatizare. Transmiterea semnalului între cele două părți separate galvanic se face prin cîmp electromagnetic (cuplaj prin transformator sau cuplaj optic).

Se pot realiza transformatoare miniaturale cu răspuns constant într-o bandă largă de frecvență ($10^2 \dots 10^6$ Hz) și cu izolarea înfășurărilor pentru tensiuni de $1 \dots 5$ kV. Există de asemenea ansambluri de diode electroluminescente cu fotodiode sau fototranzistoare montate în capsule metalice sau plastice DIL ca la CI, izolate pentru tensiuni de lueru de $1 \dots 2,5$ kV. Intercalind între *DEL* și *FT* un cablu optic (care este electric izolant) cu lungimea corespunzătoare și asigurînd alimentarea părții de intrare cu baterii proprii, se pot construi amplificatoare de separare galvanică (AI) pentru tensiuni de $10^5 \dots 10^6$ V.

• În figura 3.29 este reprezentată schema bloc a AI tip BB 3656 cu cuplaj **printr-un transformator** folosit îngeneios atât pentru transferarea puterii de alimentare în c.c. de la înfășurarea w_1 spre înfășurările $w_2 \dots w_5$, cât și pentru transmiterea semnalului, prin modularea impulsurilor în durată, de la înfășurarea w_2 ataçată cu un puls negativ spre înfășurările w_6, w_7 . Se remarcă existența a trei borne de masă independente galvanic: pentru circuite de intrare, pentru intrarea de alimentare în c.c. și pentru circuitele de ieșire. Tensiunile permise între aceste borne de masă apar în figura 3.29.

Generatorul de impulsuri funcționează pe frecvență de 750 kHz și transmite prin palierul pozitiv al impulsurilor puterea de curent continuu spre diodele redresoare $D_1 \dots D_4$. Totodată, prin frontul negativ, sincronizează modulatorul în durată și cele două demodulații. Față de acest moment de sincronizare, modulatorul produce un puls de polaritate negativă, cu o întîrziere proporțională cu tensiunea de ieșire a A_i , intercalat între pulsurile pozitive. Informația este reprezentată de durata dintre impulsuri și este demodulată de demodulatorul de ieșire care creează tensiunea pentru circuitul de ieșire și de demodulatorul de intrare care creează tensiunea de reacție în circuitul de intrare. Presupunînd că cele două demodulații sunt identice, acest aranjament permite compensarea erorilor datorate atât

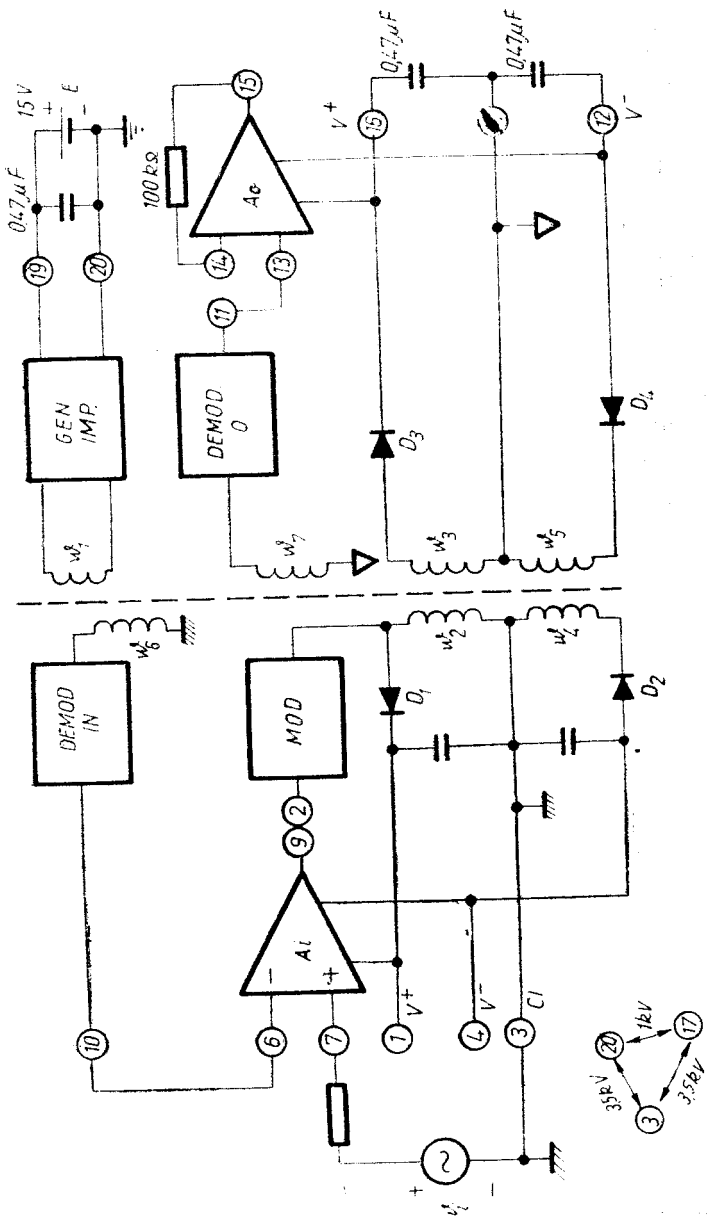


Fig. 3.29. Schema simplificată a amplificatorului de izolare BB 3656.

modulatorului, cît și demodulatorului, deoarece *MOD* și *DEMOD IN* sunt prinse într-o buclă de reacție negativă.

Parametrii mai importanți ai acestui *AI* sunt:

- amplificarea: $1 \dots 10^3$;
- V_{os} : $(2 + 20/A_{oi})$ mV;
- I_B : 75 nA;
- f_s : 30 kHz;
- CMR : 125 dB la 60 Hz.

Existența unor borne externe pentru A_i , A_o și pentru sursele de alimentare în c.c. permite o mare flexibilitate în alegerea configurațiilor circuitelor, ca și alimentarea unor circuite suplimentare (amplificatoare, punți de traducătoare etc.) în limita unui consum de ± 14 mA pentru intrare și ± 5 mA pentru ieșire.

La *AI* fără reacție negativă, peste *MOD-DEMODY*, sau cind nu se poate asigura identitatea caracteristicilor pentru două *DEMODY*, modulația impulsurilor în durată poate fi nepotrivită, datorită răspunsului imperfect al transformatorului la impulsuri. Deoarece orice transformator poate altera fronturile impulsurilor și introduce întâzieri, dar nu poate modifica frecvența unui tren de impulsuri, se recomandă folosirea modulației în frecvență (v. § 3.2.1) pentru *AI* construite în număr mic. O facilitate suplimentară o constituie utilizarea a două transformatoare diferite, optimizate constructiv, pentru transmiterea puterii de c.c. de la ieșire spre intrare și a informației de la intrare spre ieșire.

Atât prin folosirea *MID* cît și a *MF*, răspunsul la frecvențe înalte este limitat la ordinul de mărime 10^4 Hz.

• Amplificator de izolare cu fotocuploare. Prin folosirea fotocuploarelor, care au timpi de răspuns de ordinul 10 ns, s-ar putea extinde răspunsul *AI*

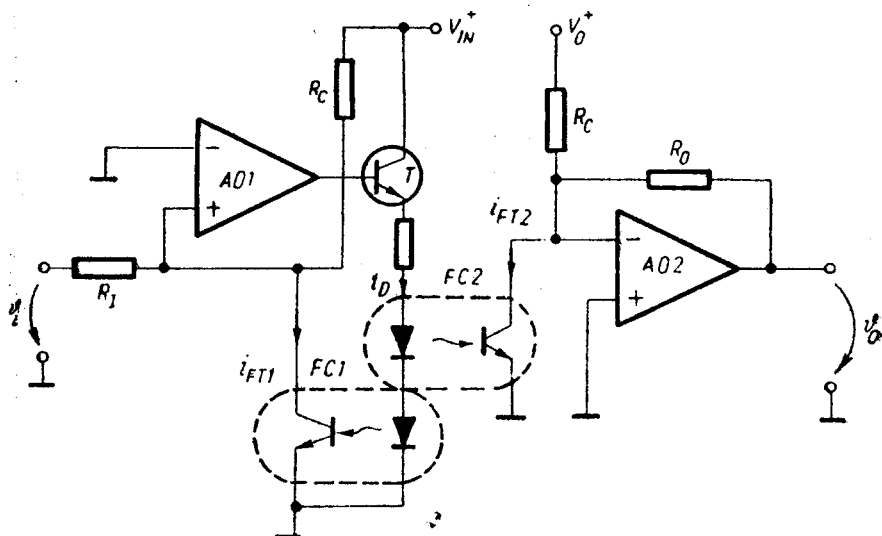


Fig. 3.30. Amplificator de izolare cu fotocuploare.

până la 10^6 Hz, dacă și *A0* utilizează un răspuns corespunzător. Caracteristica de transfer în curent a unui fotocupluor (*FC*) este subunitară în valoare și neliniară dar, admisind existența a două *FC* identice, se poate concepe o schemă ca în figura 3.30. Amplificatorul de intrare *A0 1* este prins într-o

Fiebelul 3.1.

Parametrii unor AM

Parametru	Tipul BB 3620	BB 3626	BB 3630	BB 3650	BB 3660	AD 522	AD 606	LF 152
Domeniul v_i	± 10 V	± 10 V	± 10 V	± 10 V	± 10 V	± 10 V	± 10 V	± 10 V
z_{id} (Ω)	$3 \cdot 10^8$	$5 \cdot 10^9$	10^{10}	$2 \cdot 10^{10} / A_v$	10^{10}	$3 \cdot 10^9$	10^9	$2 \cdot 10^{12}$
z_{ic} (Ω)	10^8	$5 \cdot 10^8$	10^9	$2 \cdot 10^{10}$	10^{10}	$6 \cdot 10^{10}$	10^9	$2 \cdot 10^{12}$
I_B (nA)	25	50	20	200	50	40	60	0,003
V_{os} (mV)	± 1	$\pm 0,4$	$\pm 0,025$	± 1	± 2	$\pm 0,2$	$\pm 0,005$	± 8
$\partial V_{os}/\partial T$ (mV/ $^{\circ}$ C)	0,25	3	0,25	50	1	5	0,25	10
A_o	$1 \div 10^4$	$5 \div 10^3$	$1 \div 10^3$	$1 \div 10^3$	$1 \div 1024$	$0,1 \div 10^3$	$1 \div 10^4$	$1 \div 10^3$
Neliniaritatea (%)	0,01	0,02	0,002	0,03	0,01	0,01	0,002	0,02
CMR (dB)	100	80	106	110	110	110	100	110
Domeniul v_o (V)/ i_o (mA)	10/10	10/5	10/5	10/10	10/10	10/10	10/5	9/4,5
z_o (m Ω)	100	2 000	10	150	50	100	100	1 500
f_T (MHz)	1	1,4	1,4	10	2	40	10	1,4
Structura (nr. figurii)	3,6	3,10	3,8	3,16	3,22	3,17	3,18	Bifet
Construcția*	H_4, M_0	H_4, M_0	H_4, M_0	$Mono$	H_4, M_0	$Mono$	H_4, M_0	H_4, M_0

* H_4 — hibrid, M_0 — capsula modulară, $Mono$ — monolithic.

bucă de reacție negativă electro-optică, a cărei tendință este anularea tensiunii la intrarea AO 1; și la borna inversoare a acestuia se poate scrie Kirchhoff - I:

$$\frac{v_i}{R_1} + \frac{V_{IN}^+}{R_c} = i_{FT1}. \quad (3.74)$$

Pentru AO 2, la borna inversoare se scrie:

$$\frac{v_o}{R_0} + \frac{V_O^+}{R_c} = i_{FT2}. \quad (3.75)$$

Observind egalitatea curentilor prin cele două diode electroluminescente conectate în serie, și admitând identitatea factorilor lor de transfer în curent, rezultă:

$$\frac{v_i}{R_1} + \frac{V_{IN}^+}{R_c} = \frac{v_o}{R_0} + \frac{V_O^+}{R_c},$$

de unde:

$$v_o = v_i \frac{R_0}{R_1} + \frac{R_0}{R_c} (V_{IN}^+ - V_O^+).$$

Tensiunea de ieșire are un prim termen care reprezintă tensiunea de intrare amplificată și un al doilea termen corespunzător decalajului la ieșire, care se anulează pentru $V_{IN}^+ = V_O^+$. Ofsetul raportat la intrare este $V_{os} = -\frac{R_L}{R_c} (V_{IN}^+ - V_O^+)$, dependent de justitia surselor de alimentare pozitiva: V_{IN}^+ , V_O^+ .

Curenții prin R_c sunt necesari pentru asigurarea funcționării AI pentru ambele polarități ale v_i , deoarece atât dioda electroluminescentă, cât și fototranzistoarele sunt unidirectionale. Valoarea curentului static prin fototranzistor, $\frac{V_{IN}^+}{R_c}$, se alege în domeniul de liniaritate maximă a caracteristicii de transfer în curent a fotoocuplorului. Mai puțin performantă în privința erorilor statice și a liniarității, această schemă asigură performanțe dinamice superioare.

Parametrii principali ai unor amplificatoare de măsurare standard industrial sunt indicați în tabelul 3.1.

3.1.8. CONVERSIE LOGARITMICĂ ȘI EXPONENȚIALĂ

Convertoarele logaritmice și exponențiale realizează o dependență logarithmică, respectiv exponențială, între mărimea de la ieșire și mărimea de la intrare. Simbolul utilizat pentru aceste convertoare este indicat în figura 3.31. În mod obișnuit, mărimea de la ieșire este o tensiune; mărimea de la intrare poate fi o tensiune sau un curent.

Pentru a fixa ideile, în cele ce urmează se va discuta în special convertoarea logaritmice; concluziile acestei discuții sunt valabile și pentru convertoarea exponențială.

Dintre schemele de convertoare logaritmice existente în momentul de față, se vor prezenta numai acelea care se bazează pe utilizarea ca element de conversie logaritmice fie a diodeli semiconductoare, fie a tranzistorului

bipolar conectate în bucla de reacție a unui amplificator operațional. În ambele cazuri se exploatează dependența exponențială curent direct-tensiune directă a diodei și respectiv curent de colector-tensiune bază-emitor a transistorului bipolar.

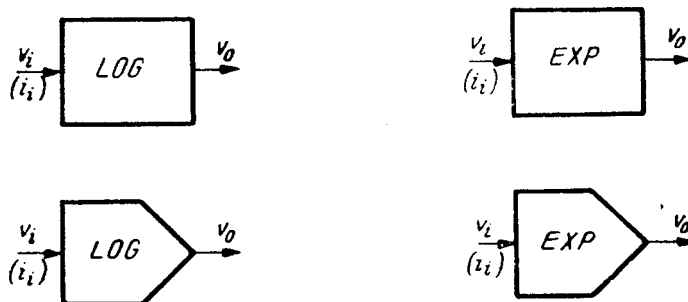


Fig. 3.31. Simbolurile utilizate pentru convertoarele logaritmice și exponențiale.

3.1.8.1. Convertor cu diode

Schema de principiu a unui convertor logaritmic care utilizează în bucla de reacție a unui amplificator operațional o diodă semiconductoare este dată în figura 3.32; schema unui convertor exponențial apare în figura 3.33.

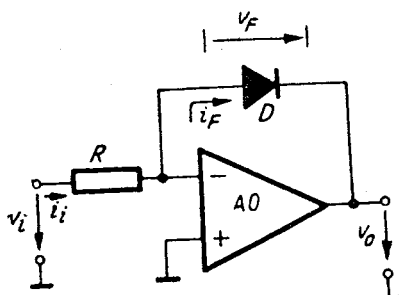


Fig. 3.32. Schema unui convertor logaritmic care utilizează în bucla de reacție a unui amplificator operațional o diodă semiconductoare.

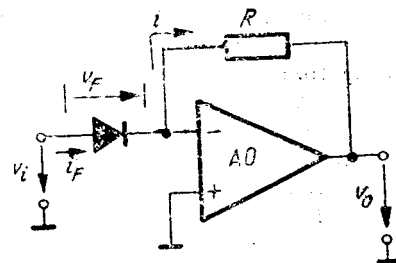


Fig. 3.33. Schema unui convertor exponențial (schemă „duală“ același din figura 3.32).

● **Convertorul logaritmie.** Caracteristica curent-tensiune a unei diode semiconductoare este dată de relația

$$i_F = I_S(e^{v_F/nV_T} - 1), \quad (3.77)$$

unde I_S este curentul de săturare — puternic dependent de temperatură, iar $V_T = kT/q$ — tensiunea „termică“ (la temperatura camerei $V_T \approx 26$ mV). Factorul n are o valoare cuprinsă în gama 1...2. Valoarea 2 se atinge pentru nivele foarte mici de curent prin diodă; la care recombinarea în regiunea de sarcină spațială are o pondere importantă. Valoarea unitară corespunde funcționării la curenți medii.

În cazul polarizării directe $v_F = 400 \dots 700$ mV, astfel că $e^{v_F/nV_T} \cong \approx 10^6 \dots 10^{10} \gg 1$. În aceste condiții este justificată neglijarea unității față de e^{v_F/nV_T} ; scriind dependența tensiune-curent se obține

$$v_F = nV_T \ln \frac{i_F}{I_s}, \quad (3.78)$$

relație care pune în evidență dependența logaritmică a tensiunii directe în funcție de curentul direct. O variație de 10 : 1 (o decadă) a curentului va determina, la 25°C, o variație a tensiunii directe de aproximativ 60 mV (s-a luat $n = 1$, valoare ușoară tipică pentru gama de curenti de lucru).

Revenind la schema din figura 3.32 și observând că (se presupune amplificatorul operațional ideal)

$$i_F = i_i = \frac{v_t}{R}, \quad (3.79)$$

se obține

$$v_o = -v_F = -nV_T \ln \frac{v_t}{RI_s}, \quad (3.80)$$

expresie care demonstrează caracterul logaritmic al dependenței $v_o(v_t)$.

Ideea pe care se bazează funcționarea schemei este acum clară: prin intermediul rezistenței R și al amplificatorului operațional se forțează un curent v_t/R prin dioda de logaritmare D , determinând la bornele diodei o cădere de tensiune care este replica logaritmică a tensiunii de la intrare.

Evident, atacul convertorului logaritmic se poate face și de la o sursă de curent (fig. 3.34). În acest caz tensiunea de la ieșire (presupunând amplificatorul operațional ideal) este dată de

$$v_o = -nV_T \ln \frac{i_t}{I_s}. \quad (3.81)$$

Este interesant de observat că sursa de curent i_t debitează pe un nod de potențial nul sau, cu alte cuvinte, pe o impedanță nulă.

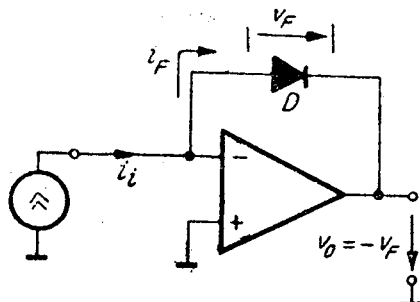


Fig. 3.34. Schema unui convertor logaritmic la care semnalul de la intrare este un curent.

• Pentru convertorul exponențial din figura 3.33, pentru tensiunea de la ieșire, v_o , presupunând amplificatorul operațional ideal, se obține expresia :

$$v_o = -Ri = -Ri_F = -Ri_S e^{\frac{v_t}{nV_T}}. \quad (3.82)$$

Caracterul exponențial al dependenței $v_o(v_t)$ este evident.

Deși dependența $i_F(v_F)$ a unei diode își păstrează caracterul exponențial pe 4...6 decade de variație a curentului, faptul că atât valoarea factorului n , cât și aceea a tensiunii la care factorul n își schimbă valoarea, depind de la exemplar la exemplar, face ca diodele uzuale să nu poată realiza o conversie logaritmică sau exponențială pe mai mult de 1...2 decade de variație a curentului, chiar dacă se utilizează scheme mult mai complexe. În plus, la valori

mari ale curentului direct se face simțit și efectul dat de rezistență serie a diodei: caracterul logaritmic sau exponentiațial al caracteristicii de transfer se deteriorează, liniarizându-se.

Realizarea unor diode speciale pentru conversia logaritmice sau exponentiale reprezintă o alternativă necompetitivă din punctul de vedere al prețului față de alternativa oferită de utilizarea unui tranzistor bipolar.

3.1.8.2. Converteoare cu tranzistoare bipolare

● **Schemă de principiu.** Dintre diversele modalități de conectare a tranzistorului bipolar într-un convertor logaritmice se va descrie numai *conexiunea denumită „uzul „transdiodă“* (fig. 3.35).

Intr-o modelare de prim ordin, dependența curentului de colector de tensiunile bază-emitor, v_{BE} , și colector-bază, v_{CE} , este dată de relația Ebers-Moll:

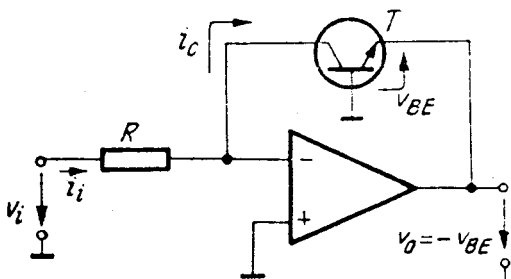


Fig. 3.35. Schemă unui convertor logaritmice în care tranzistorul bipolar este conectat ca „transdiodă“.

$$i_c = I_S (e^{v_{BE}/V_T} - 1) = \frac{I_S}{\alpha_R} (e^{v_{CE}/V_T} - 1), \quad (3.83)$$

unde I_S este un curent de saturare ce caracterizează funcționarea tranzistorului în regiunea activă normală, iar $\alpha_R = 0,3 \dots 0,8$ este raportul dintre curentul de emitor și cel de colector în cazul funcționării în regiunea activă inversă.

Dependența exponentială a curentului de colector în funcție de tensiunea bază-emitor se menține cu bună precizie pe 4...8 decade de variație a curentului. În figura 3.36 se indică, în calitate de exemplu, o caracteristică tipică $i_c(v_{BE})$ a unui tranzistor utilizat pentru realizarea unui convertor logaritmice. Abaterile de la caracteristica exponentiale — dată de relația (3.83) — sunt date la curenti mari de căderea de tensiune pe rezistență serie a emitorului, iar la curenti mici — de fenomenele de recombinare în regiunea de sarcină spațială și la suprafața jonejuii emitor-bază.

În schema din figura 3.35 tranzistorul T funcționează în regiunea activă normală, la o tensiune colector-bază nulă. Neglijind unitatea față de e^{v_{BE}/V_T} în relația

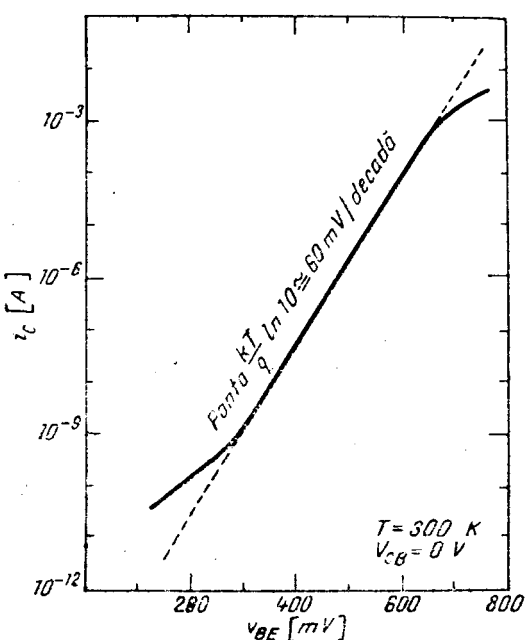


Fig. 3.36. Caracteristică tipică $i_c (V_{BE})$ pentru un tranzistor bipolar de mică putere.

(3.83) și înlocuind $v_{CB} = 0$, pentru tensiunea de ieșire se obține relația:

$$v_o = -v_{BE} = -V_T \ln \frac{i_c}{I_s} = -V_T \ln \frac{v_t}{RI_s}. \quad (3.84)$$

Ideea pe care se bazează funcționarea schemei este acum clară: datorită amplificatorului operațional valoarea curentului de colector al tranzistorului T este forțată să fie egală cu v_t/R ; în aceste condiții tensiunea de la ieșire, care este egală cu tensiunea emitor-bază, rezultă proporțională cu $\ln v_t$.

În cazul în care semnalul de intrare este un curent, intrarea în convertor se face direct în nodul care corespunde intrării inversoare a amplificatorului operațional (la fel ca la convertorul cu diodă din figura 3.32).

Evident, semnalul de la intrare trebuie să fie unipolar. Pentru tranzistoare npn tensiunea de la intrare este pozitivă (curentul intră în nodul care corespunde intrării inversoare). Pentru semnale de intrare negative fie se utilizează un tranzistor pnp , fie se complică circuitul plasând în intrare un inversor de curent (v. fig. 3.41).

● **Schela practică.** Schela simplă de convertor logaritmic dată în figura 3.35 are, însă, cîteva dezavantaje esențiale, care se discută în continuare.

(1) Rezistența pe care o simte ieșirea amplificatorului operațional este $r_e \cong 1/g_m = V_T/I_C$ (de exemplu, la $I_C = 1$ mA, $r_e \cong 23 \Omega$). Această valoare ne arată că la curenți mari încărcarea la ieșire a amplificatorului devine excesivă, ceea ce duce la scăderea valorii ciștigului cu bucla deschisă (de exemplu, pentru amplificatoarele operaționale uzuale, de mică putere, ciștigul cu bucla deschisă este specificat pentru o valoare $R_L = 2 \text{ k}\Omega$ a rezistenței de sarcină). Dacă scade valoarea ciștigului cu bucla deschisă, ne îndepărțăm puternic de conceptul de amplificator operațional ideal, caz în care funcționarea convertorului se abate esențial de la descrierea anterioară; curentul prin rezistență R diferă de valoarea ideală v_t/R , iar caracteristica de transfer nu mai este logaritmice.

(2) O particularitate importantă a conectării ca transdiodă este aceea că tranzistorul de logaritmare poate introduce în bucla de reacție un ciștig supraunitar. Într-adevăr, ciștigul pe buclă este $\mu \times g_m R$, unde μ este ciștigul cu bucla deschisă al amplificatorului operațional. Tranzistorul fiind de fapt în conexiunea cu baza la masă, amplifică într-o bandă de frecvențe mult mai largă decât amplificatorul operațional, astfel că efectul noplăcut al surplusului de ciștig se face simțit tocmai la frecvențele la care defazajul introdus de amplificator este mare, apărind astfel pericolul de oscilație. În plus, situația se complică deoarece ciștigul suplimentar $g_m R$ este dependent (prin intermediul curentului de colector) de nivelul semnălului de la intrare.

Soluționarea acestor două probleme se obține prin modificarea circuitului din figura 3.35 ca în figura 3.37.

Grupul R_C, C_C realizează compensarea în frecvență a convertorului, asigurînd reducerea ciștigului pe buclă la frecvențe înalte. Totodată, ieșirea amplificatorului vede o rezistență de sarcină $R_C + r_e$; deoarece valoarea

rezistenței R_C este de ordinul $5 \dots 10 \text{ k}\Omega$ [$R_C \cong (|V_{max}| - V_{BE})/I_{C,max}$, unde V_{max} este valoarea nominală a tensiunii de la ieșirea amplificatorului], scăderea rezistenței r_s la curenti de colector mari nu mai are nici o importanță.

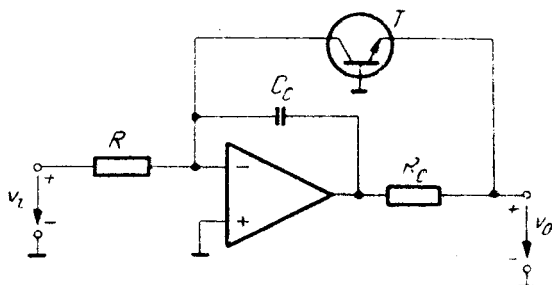


Fig. 3.37. Compensarea în frecvență a convertorului din figura 3.35.

(3) Relația care dă caracteristica de transfer a convertorului, $v_o = -V_T \ln(v_i/R I_s)$, pune în evidență doi factori prin care se face simțită influența temperaturii: unul din ei este curentul I_s , iar celălalt - tensiunea V_T .

Compensarea efectului dat de curentul I_s (mărime greu predictibilă și dificil de controlat) se realizează prin scăderea din tensiunea de la ieșire, a căderii de tensiune bază-emitor a unui al doilea tranzistor, *pereche cu tranzistorul de logaritmare*.

Schema corespunzătoare este dată în figura 3.38. Caracteristica de transfer se obține direct:

$$v_o = v_{BER} - v_{BEi} = -V_T \left[\ln \left(\frac{v_i}{R_i} \cdot \frac{R_R}{R_i} \right) - \ln \frac{I_{Si}}{I_{SR}} \right].$$

Acastă relație pune în evidență ciștigul major care se obține prin această modificare de schemă: curentul de saturare al tranzistorului de logaritmare (mărime necontrolabilă și puternic dependentă de temperatură) se înlocuiește

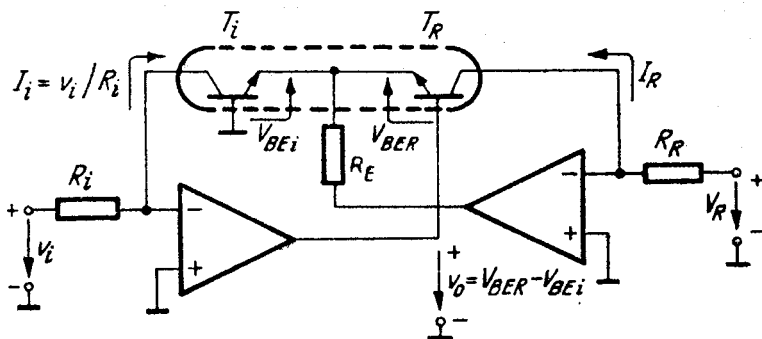


Fig. 3.38. Modificarea schemei din figura 3.35 pentru a se elimină efectele date de curentul I_s .

cu un curent de referință, $I_R = V_R/R_R$, ușor de controlat. Împerecherea imperfectă a celor două tranzistoare se reflectă prin raportul I_{Si}/I_{SR} , diferit de unitate, dar practic independent de temperatură. Eroarea introdusă de valoarea neunitară a raportului I_{Si}/I_{SR} se compensează prin ajustarea valorii curentului de referință.

Compensarea efectului datorită factorului V_T se poate face fie prin termostatarea perechii de tranzistoare care realizează conversia, fie printr-o modificare de schemă ca în figura 3.39. În acest caz expresia caracteristiciei de transfer devine

$$v_o = -\frac{R_1 + R_2}{R_2} V_T \left[\ln \left(\frac{v_i}{V_R} \cdot \frac{R_R}{R_1} \right) - \ln \frac{I_{S1}}{I_{S2}} \right]. \quad (3.85)$$

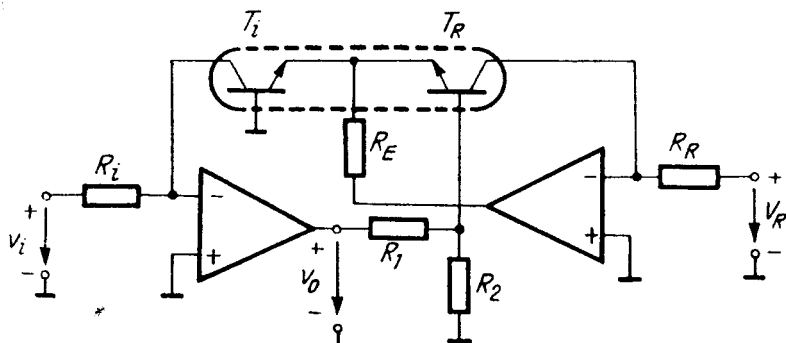


Fig. 3.39. Modificarea schemei din figura 3.35 pentru a se elimină efectele date de variația temperaturii.

Rezistența R_2 trebuie să fie dependență de temperatură astfel încât mărimea $V_T(R_1 + R_2)/R_2$ să fie constantă la variațiile temperaturii. În cazul în care $R_1 \gg R_2$, rezistența R_2 trebuie să aibă un coeficient de temperatură de aproximativ $+3\ 300\ \text{ppm}/^\circ\text{C}$.

Observație. Această schemă de convertor logaritmic permite și realizarea unei funcții analogice deosebit de utile în multe aplicații: *logaritmul raportului a două mărimi* [într-adevăr, tensiunea de ieșire, v_o , este proporțională cu $\ln(v_i/V_R)$].

(4) Limitări introduse de amplificatorul operațional.

Aceste limitări sunt determinate în esență de tensiunea de offset, de curentii de polarizare și de curentul de offset. Efectul acestor mărimi de poate descrie cantitativ cu ajutorul schematicelor echivalente din figura 3.40.

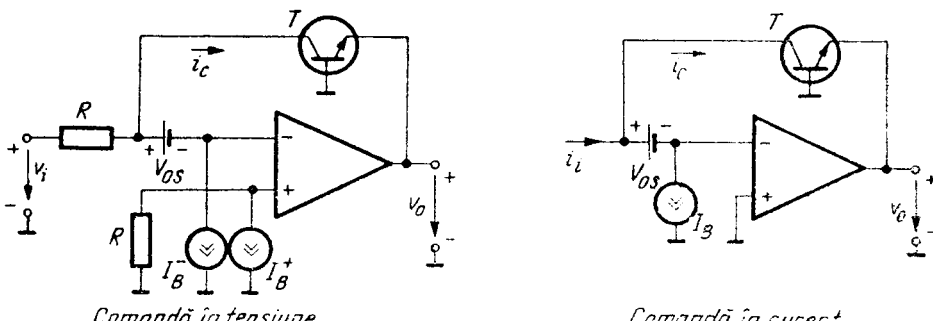


Fig. 3.40. Modelarea efectelor introduse de tensiunea de offset și de curentii de polarizare ai amplificatorului operațional.

Se obține :

- comandă în tensiune :

$$i_c = \frac{v_i}{R} \pm \frac{V_{OS}}{R} \pm I_{OS} \pm I_e; \quad (3.86)$$

• comandă în curenț: $i_C = i_t - I_B \pm I'_e$. (3.87)

Curenții I'_e și I''_e descriu eroarea introdusă de polarizarea nenuță a jonejui colector-bază. Valoarea lor tipică este de $0,1 \dots 1 \text{ pA}$, astfel că efectul lor este neglijabil.

Efectul dat de tensiunea de offset, V_{OS} , respectiv de curentul de polarizare, I_B , poate fi mult redus prin utilizarea unor compensări exterioare, utile însă numai pentru un domeniu relativ limitat de temperatură, de ordinul a $10 \dots 30^\circ\text{C}$.

Pentru a se obține performanțe ridicate este absolut necesară utilizarea unui amplificator operațional cu curenți mici de polarizare.

3.1.8.3. Scheme concrete de convertor logaritmic și convertor exponential realizate cu tranzistoare

• În figura 3.41 este indicată schema unui **convertor logaritmic realizat cu componente discrete**. Din inspecția schemei se observă că se aplică toate tehnicele de circuit descrise anterior. Caracteristica de transfer a acestui convertor — care funcționează într-o gamă dinamică de 100 dB a semnalului de la intrare — este dată de relația :

$$v_o = -V_T \frac{R_1 + R_2}{R_2} \ln \left(\frac{v_i}{V_R} \cdot \frac{R_3}{R_4} \right) = -\log \frac{v_i}{R_i} - 5. \text{ [V]} \quad (3.88)$$

Abaterea tensiunii de la ieșire față de valoarea dată de relația de mai sus este de cel mult 1% pentru valori ale curentului de intrare cuprinse în gama $10 \text{ nA} \dots 1 \text{ mA}$. Pentru curenți peste $500 \mu\text{A}$ se face simțit efectul dat de rezistența serie a tranzistorului de logaritmare. La curenți mici, sursa principală de eroare este dată de curentul de offset al amplificatorului LM108.

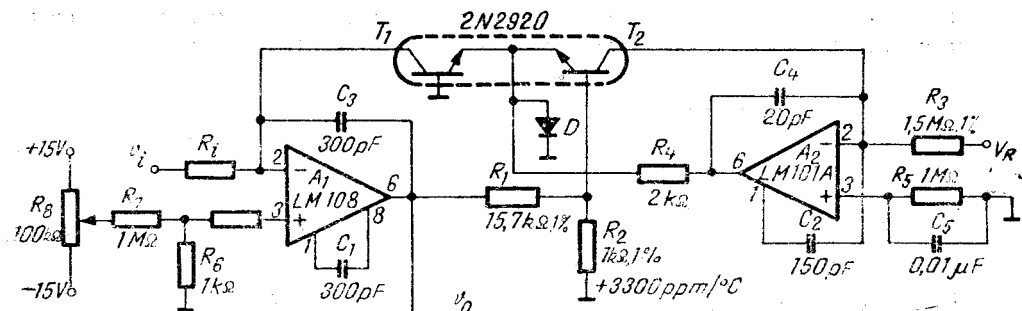


Fig. 3.41. Schema unui convertor logaritmic care acoperă 5 decade de variație a tensiunii de la intrare.

○ **Notă.** Acest convertor poate funcționa și ca îninversor ($v_i > 0$, $v_o > 0$). În acest caz curentul de intrare se aplică amplificatorului A_2 , iar curentul de referință — amplificatorului A_1 . Desigur că în acest caz A_2 va fi un LM108, iar A_1 un LM101A.

Reglajul tensiunii de offset a amplificatorului A_1 se realizează prin intermediul potențiometrului R_8 și al rezistențelor R_7 , R_6 , R_5 .

○ Trebuie observat faptul că utilizarea unei puternice compensări în frecvență a amplificatorului A_1 , și a întregului convertor logaritmic face ca răspunsul său tranzistoru să fie lent (pentru schema din figura 3.41, în cazul unui salt treptă la intrare, tensiunea de la ieșire ajunge la 1% din valoarea finală într-un interval de ordinul milisecundelor).

● Schema unui **convertor exponențial** este indicată în figura 3.42. Pentru valorile concrete indicate în schemă se realizează funcția de transfer

$$v_o = 10^{-v_i}, \quad (3.89)$$

unde v_o și v_i sunt date în volți.

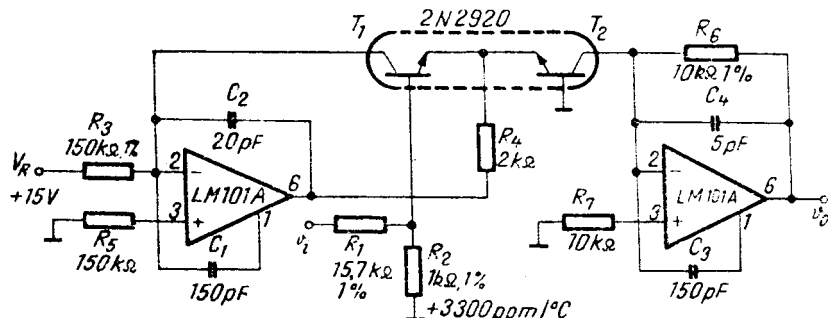


Fig. 3.42. Schema unui convertor exponențial.

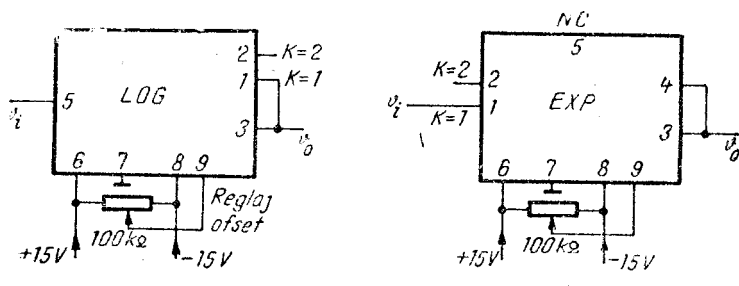
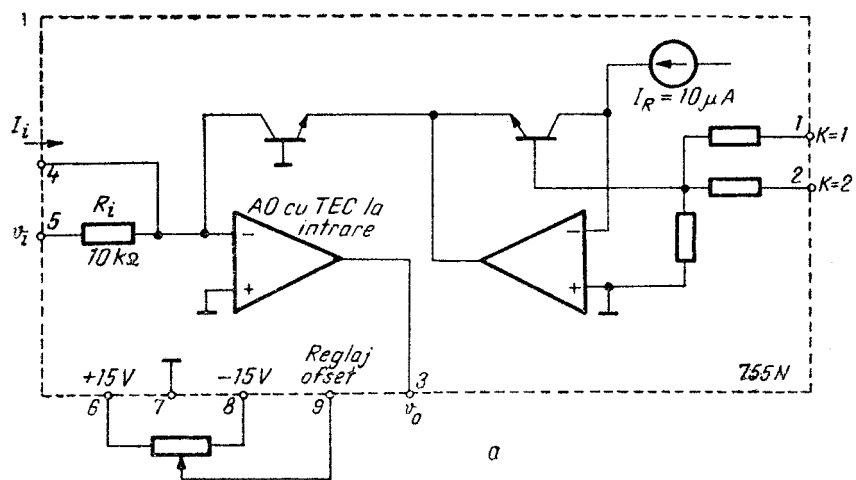
3.1.8.4. Module de conversie logaritmică și exponențială

În afara schemelor „discrete” — ca cele descrise mai înainte — există și circuite hibride, în care întregul convertor este gata fabricat sub forma unui modul, sarcina utilizatorului fiind astfel redusă la minimum — realizarea unor interconexiuni și eventual plasarea unor elemente de ajustare.

Cu titlu de exemplu se menționează *modulul 755N [F8] al firmei ANALOG DEVICES (S.U.A.)*. Schema de principiu a modulului de conversie, precum și modul de conectare pentru obținerea unui convertor logaritmic sau exponențial sunt indicate în figura 3.43. Pentru un atac în curent se garantează o dinamică de 120 dB (10 nA...1 mA), iar pentru un atac în tensiune — o dinamică de 80 dB (1 mV...10 V). Circuitul exterior modulului — de reglaj al offsetului — este necesar numai în cazul atacului în tensiune.

3.1.8.5. Inversorul de curent

În cazul în care tensiunea sau curentul de intrare sunt negative, este necesară utilizarea pentru conversie logaritmică sau exponențială a unei perechi de tranzistoare *pnp*. Dacă aceste tranzistoare *pnp* nu sunt accesibile, se poate realiza convertorul cu tranzistoare *npn*, montându-i în față un inversor de curent.



$$v_o = -K \log \frac{v_i}{R_i I_R}$$

$$v_o = -R_i I_R 10^{-\frac{v_i}{K}}$$

Fig. 3.43. Schema de principiu (a) și modul de conectare a modulului 755N (ANALOG DEVICES) pentru a se obține un convertor logaritmnic (b) sau exponentiațional (c).

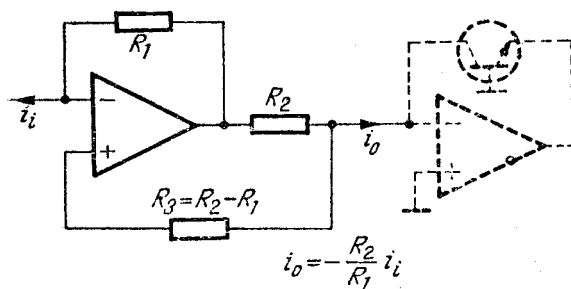


Fig. 3.44. Schema inversorului de curent.

Schema unui inversor de curent este indicată în figura 3.44. În mod obișnuit $R_1 = R_2$, astfel că $i_o = -i_i$. Trebuie observat că acest inversor de curent funcționează corect numai în cazul în care *debităza pe un nod de potențial nul* (cu alte cuvinte — pe o rezistență de sarcină nulă).

3.1.8.6. Convertorul multifuncțional

Combinarea unui convertor logaritmice cu un convertor exponential în conformitate cu schema de principiu din figura 3.45, permite realizarea unei funcții de transfer

$$v_o = v_Y \left(\frac{v_Z}{v_X} \right)^m, \quad (3.90)$$

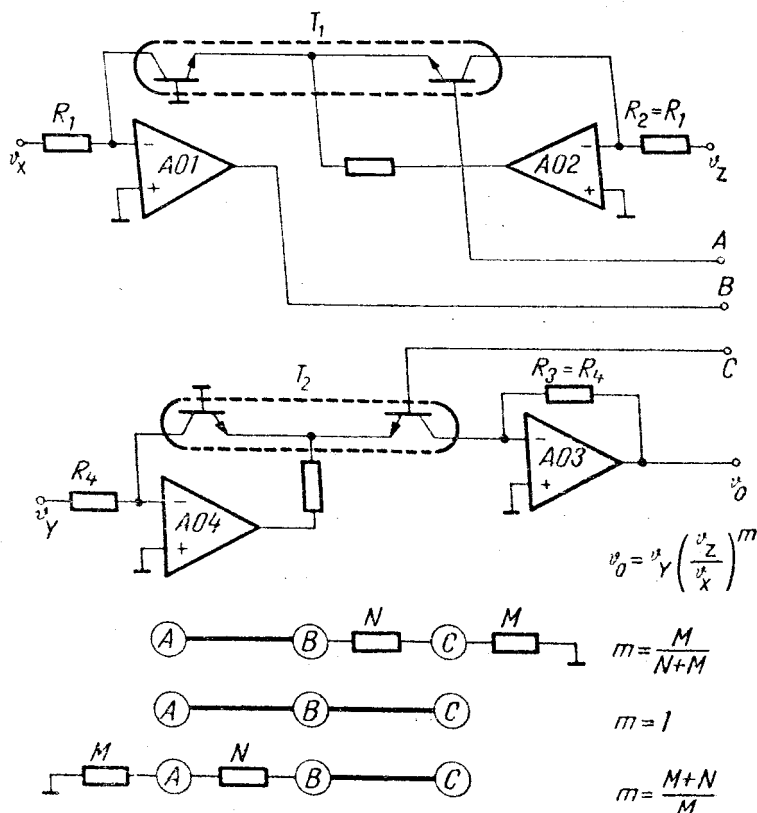


Fig. 3.45. Schema de principiu a unui convertor multifuncțional și modurile de conectare pentru a se obține diferite valori ale exponentului m .

unde v_o este tensiunea de ieșire, v_X , v_Y , v_Z — tensiunile de intrare, iar exponentul m poate lua valori subunitare sau supraunitare prin alegerea convenabilă a modului de conectare și a valorii rezistențelor care se leagă la bornele A , B , C . Valorile negative ale exponentului se obțin schimbând între ele semnalele aplicate pe intrările X și Z .

Presupunind că tranzistoarele duale sunt formate din tranzistoare identice și că toate au aceeași temperatură, se pot scrie următoarele relații

$$v_A = \frac{kT}{q} \ln \frac{v_Z}{v_X}; \quad (3.91)$$

$$v_C = mv_A; \quad (3.92)$$

$$v_C + \frac{kT}{q} \ln \frac{v_Y}{R_t I_S} = \frac{kT}{q} \ln \frac{v_0}{R_s I_S}, \quad (3.93)$$

din care, după calcule simple, rezultă expresia dată mai înainte a caracteristicii de transfer.

Acest convertor multifuncțional permite obținerea funcțiilor de multiplicare, divizare, exponențiere, extragere de rădăcină. Pentru convertoarele multifuncționale realizate ca module hibride, gama tipică a valorilor tensiunilor de intrare și ieșire este 0...+10 V (funcționează numai în primul cadran), iar a exponentului m , 0,2...5.

3.1.9. TEHNICA ECRANĂRII ȘI CONECTĂRII LA MASĂ IN AEMC

Precizia și sensibilitatea ridicată ce caracterizează, în general, funcționarea AEMC impun o grija deosebită privind eliminarea influenței tensiunilor perturbatoare asupra procesului de măsurare. Măsurile ce se iau în acest sens vizează, pe de o parte, structura schemei adoptate și pe de altă parte modul de realizare constructivă a aparatului. În anumite aplicații, efectul perturbațiilor poate fi diminuat printr-o conectare corespunzătoare la masă a circuitelor AEMC.

3.1.9.1. Eliminarea influenței perturbațiilor

Dintre tensiunile perturbatoare se menționează, în primul rînd, datorită frecvenței apariției și importanței efectului asupra măsurării, tensiunile perturbatoare de mod comun cu frecvența rețelei.

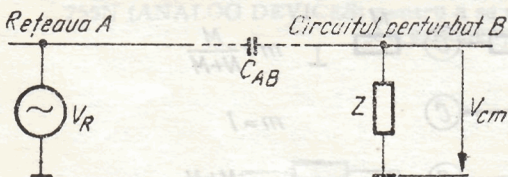


Fig. 3.46. Modul de inducere al tensiunii de mod comun V_{cm} de către cîmpul electric al rețelei.

turbator va depinde de reactanța X_{AB} a capacității rețea-circuit și de impedanța Z față de masă a circuitului perturbat, conform expresiei:

$$V_{cm} = \frac{V_R}{Z - jX_{AB}} \cdot Z, \quad (3.94)$$

unde

$$X_{AB} = 1/\omega C_{AB}. \quad (3.94)$$

• Principalele modalități de apariție a tensiunilor de mod comun, în cazul AEMC, sunt ilustrate în figurile 3.46 și 3.47.

În primul caz (fig. 3.46), tensiunea de mod comun V_{cm} este indușă în circuitul perturbat B de către cîmpul electric perturbator generat de rețeaua electrică A . Mărimea semnalului per-